

بسم الله الرحمن الرحيم

جامعة بوليتكنيك فلسطين



كلية الهندسة والتكنولوجيا
دائرة الهندسة المدنية والمعمارية

اسم المشروع

التصميم الانشائي لكلية تقنية

فريق العمل

ايهاب محمود دراويش

المنتصر بالله مصطفى ابو عرقوب

يوسف السويطي

محمد ابو عوض

إشراف :

د. نصر يونس عبوشي
فلسطين - الخليل

2014-2013



ملخص المشروع

عمل تصميم إنشائي كامل لمبنى مكون من كلية تقنية بجميع تفصيلاته وعناصره المختلفة.

فريق العمل:

أيهاب محمود دراويش

المنصر بالله مصطفى ابو عرقوب

يوسف محمود السويطي

محمد اسماعيل ابو عوض

إشراف:

د. نصر عبوشي

تتلخص فكرة هذا المشروع في عمل التصميم الإنشائي وكافة التفاصيل الإنشائية اللازمة لمبنى كلية تقنية والذي يتألف من أربعة طوابق وطابق سطح وكذلك ثلاثة مباني فرعية وهي عبارة عن مشاغل للكلية.

وهذا المشروع مكون من أربعة طوابق ويحتوي على الكثير من الفعاليات التي يحتاجها أي شخص مع كل وسائل الراحة، وقد صمم هذا المبنى على أحدث الطرز المعمارية، فبالإضافة إلى احتوائه على وسائل الراحة والأمان، وضعت المصاعد الكهربائية لخدمة الطلاب والموظفين.

وهذا المبنى هو خرساني مسلح تم تصميمه وفقاً لكود الخرسانة الأمريكي، ويحتوي المشروع على التفاصيل الكاملة لتحليل الأوزان الرأسية والأفقية ثم توزيعها على العناصر الإنشائية الأفقية والرأسية، ثم التحاليل الإنشائية الخاصة بكل عنصر، ثم التصميم الكامل حسب الكود المتبع، وقد تمت مراجعة جميع الخرائط المعمارية لتتوافق مع التصاميم الإنشائية كما تم تجهيز جميع المخططات الإنشائية مع التفاصيل التنفيذية الكامل

Abstract

Structural Design and Details of Technical College

Project Team:

Al- Montaser billah Abu Arqoub

Ihab Daraweesh

Mohammad Abu Awad

Yousef Al-Sweity

Supervisor:

Dr. Nasr Younis Abboushi.

The main idea of this project is to prepare all structural design and executive details for The Technical College.

This building consists of Four Stores, a roof and three subsidiary buildings it contains all activities required for any person.

This building is a reinforced concrete structure, and it was designed according to the ACI-code-08.

The project contains the structural analysis for vertical and horizontal loads and the structural design and details for each member in the project.

Table of Contents

فهرس المحتويات

رقم الصفحة	
i	صفحة العنوان الرئيسية
ii	صفحة تقرير المشروع
iii	صفحة شهادة تقييم مشروع التخرج
iv	صفحة الإهداء
v	صفحة الشكر والتقدير
vi	صفحة الملخص باللغة العربية
vii	صفحة الملخص باللغة الانجليزية
xiii	صفحة قائمة الاختصارات

1	المقدمة	الفصل الأول
2	المقدمة	1-1
2	أهداف المشروع	2-1
3	مشكلة المشروع	3-1
3	حدود مشكلة المشروع	4-1
3	المسلمات	5-1
3	فصول المشروع	6-1
4	إجراءات المشروع	7-1
5	الوصف المعماري	الفصل الثاني
6	مقدمة	1-2
6	لمحة عن المشروع	2-2
7	موقع المشروع	3-2
8	أهمية موقع المشروع	4-2
8	وصف المساقط الأفقية للمبنى	5-2

9	المبنى الرئيسي طابق التسوية	1-5-2
10	المبنى الرئيسي الطابق الأرضي	2-5-2
11	المبنى الرئيسي الطابق الأول	3-5-2
12	المبنى الرئيسي الطابق الثاني	4-5-2
13	المبنى الرئيسي الطابق الثالث	5-5-2
14	المشغل الأول	6-5-2
15	المشغل الثاني	7-5-2
16	المشغل الثالث	8-5-2
17	وصف الواجهات	6-2
18	المبنى الرئيسي الواجهة الشمالية	1-6-2
19	المبنى الرئيسي الواجهة الجنوبية	2-6-2
20	المبنى الرئيسي الواجهة الشرقية	3-6-2
21	المبنى الرئيسي الواجهة الغربية	4-6-2
22	لمشغل الواجهة الشمالية الغربية	5-6-2
22	لمشغل الواجهة الشمالية الشرقية	6-6-2
23	المشغل الواجهة الجنوبية الغربية	7-6-2
23	المشغل الواجهة الجنوبية الشرقية	8-6-2
24	الوصف الإنشائي	الفصل الثالث:
25	مقدمة	1-3
25	هدف التصميم الإنشائي	2-3
26	الدراسات النظرية لعناصر الإنشائية في المبنى	3-3
26	الأحمال	1-3-3
26	الأحمال الميتة	2-3-3
27	الأحمال الحية	3-3-3
28	الأحمال البيئية	4-3-3
28	الرياح	1-4-3-3
28	الثلوج	2-4-3-3
29	الزلازل	3-4-3-3

30	الخصائص الإنشائية	4-3
30	العقدات	1-4-3
30	العقدات المصمتة والمسطحة	1-1-4-3
31	عقدات العصب ذات الاتجاه الواحد	2-1-4-3
31	عقدات العصب ذات الاتجاهين	3-1-4-3
32	الجسور	2-4-3
33	الأعمدة	3-4-3
34	الجدران الحاملة (جدران انقاص)	4-4-3
35	الأساسات	5-4-3
36	الأبراج	6-4-3
37	الجدران الاستنادية	7-4-3
38	فواصل التمدد	8-4-3

40	Structural Design & Analysis	Chapter 4
41	Introduction	4.1
42	Factored Loads	4.2
42	Determination of Thicknes for One Way Ribbed Slab	4.3
43	Load Calculation for One Way Ribbed Slab	4.4
44	Design of Topping	4.5.1
45	Design of Rib (I,G)	4.5.2
52	Design of Beam (B2,G)	4.6
54	Design of two-way ribbed slab (R3, S):	4.7
57	Design of one-way solid slab for the theatre	4.8
61	Design of footing (F1)	4.9
63	Design of basement wall	4.10
66	Design of Stairs (S1)	4.11
70	Design of Short Column:	4.12
72	النتائج والتوصيات	Chapter 5
74	قائمة المصادر والمراجع	=

فهرس الجداول		
4	الجدول الزمني للمشروع خلال السنة الدراسية 2014/2013	جدول (1-1)
26	الكثافة النوعية للمواد المستخدمة	جدول (1-3)
27	الأحمال الحية	جدول (2-3)
28	قيمة أعمال الثلوج حسب الارتفاع عن سطح البحر	جدول (3-3)
44	Calculation of the total dead load for topping	جدول (1-4)
45	Dead load calculations for rib (R1, G)	جدول (2-4)
47	Reactions on rib (R1, G)	جدول (3-4)
51	Reactions on beam (B2, G)	جدول (4-4)
54	Dead load calculations for rib (R3, S)	جدول (5-4)
57	Dead load calculations for theatre slab	جدول (6-4)
59	Reactions on one-way solid slab	جدول (7-4)
67	Flight dead load calculations for stair s1	جدول (8-4)
67	Landing dead load calculations for stair s1	جدول (9-4)
فهرس الأشكال		
7	موقع قطعة الأرض الخاصة بالمشروع	شكل (1-2)
8	مخطط موقع المشروع	شكل (2-2)
9	المسقط الأفقي لطابق التسوية	شكل (3-2)
10	المسقط الأفقي لطابق الأرضي	شكل (4-2)
11	المسقط الأفقي لطابق الأول	شكل (5-2)
12	المسقط الأفقي لطابق الثاني	شكل (6-2)
13	المسقط الأفقي لطابق الثالث	شكل (7-2)
14	المسقط الأفقي لمتسفل الأول	شكل (8-2)
15	المسقط الأفقي لمتسفل الثاني	شكل (9-2)
16	المسقط الأفقي لمتسفل الثالث	شكل (10-2)
17	صورة ثلاثية الأبعاد للمبنى التريسي	شكل (11-2)

18	الواجهة الشمالية للمبنى الرئيسي	شكل (12-2)
19	الواجهة الجنوبية للمبنى الرئيسي	شكل (13-2)
20	الواجهة الشرقية للمبنى الرئيسي	شكل (14-2)
21	الواجهة الغربية للمبنى الرئيسي	شكل (15-2)
22	الواجهة الشمالية الغربية للمشغل	شكل (16-2)
22	الواجهة الشمالية الشرقية للمشغل	شكل (17-2)
23	الواجهة الجنوبية الغربية للمشغل	شكل (18-2)
23	الواجهة الجنوبية الشرقية للمشغل	شكل (19-2)
31	عقدات العصب ذات الاتجاه الواحد	شكل (1-3)
31	عقدات العصب ذات الاتجاهين	شكل (2-3)
32	أشكال الجسور المدلاة و المسحورة	شكل (3-3)
33	أحدى أشكال الأعمدة	شكل (4-3)
34	جدار القص	شكل (5-3)
35	الأساس المنفرد	شكل (6-3)
36	الدرج	شكل (7-3)
37	جدار استنادي	شكل (8-3)
38	فاصل التمدد بالمبنى	شكل (9-3)
39	فاصل التمدد بالمبنى	شكل (10-3)
42	Rib (L,G) in the Ground floor	شكل (1-4)
43	One way ribbed slab	شكل (2-4)
44	Topping of slab	شكل (3-4)
46	Rib (R1, G) detailing	شكل (4-4)
46	Rib (R1, G) spans	شكل (5-4)
47	Moment on rib (R1, G)	شكل (6-4)
47	Shear on rib (R1, G)	شكل (7-4)
50	Beam (B2, G) spans	شكل (8-4)
51	Loads on beam (B2, G)	شكل (9-4)
51	Moment for beam (B2, G)	شكل (10-4)

51	Shear diagram for beam (B2, G)	(11-4) شکل
54	Coefficients for (R3, S)	(12-4) شکل
55	Moment diagram on rib (R3, S)	(13-4) شکل
58	Theatre one-way solid slab spans	(14-4) شکل
58	Dead load on the solid slab of the theatre	(15-4) شکل
59	Live load on the solid slab of the theatre	(16-4) شکل
59	Moment on one-way solid slab of the theatre	(17-4) شکل
59	Shear on one-way solid slab of the theatre	(18-4) شکل
61	Footing F1	(19-4) شکل
63	Basement wall dimensions	(20-4) شکل
64	Shear and moment diagrams for basement wall	(21-4) شکل
66	Stair Plan	(22-4) شکل
67	Flight dead load computation	(23-4) شکل
68	loading on the stair S1	(24-4) شکل
69	loads on landing on the stair S1	(25-4) شکل
71	Section column	(26-4) شکل

List of Abbreviations

- A_c = area of concrete section resisting shear transfer.
- A_s = area of non-prestressed tension reinforcement.
- A_s = area of non-prestressed compression reinforcement.
- A_g = gross area of section.
- A_v = area of shear reinforcement within a distance (S).
- A_t = area of one leg of a closed stirrup resisting tension within a (S).
- b = width of compression face of member.
- b_w = web width, or diameter of circular section.
- C_c = compression resultant of concrete section.
- C_s = compression resultant of compression steel.
- **DL** = dead loads.
- d = distance from extreme compression fiber to centroid of tension reinforcement.
- E_c = modulus of elasticity of concrete.
- f_c = compression strength of concrete.
- F_y = specified yield strength of non-prestressed reinforcement.
- h = overall thickness of member.
- L_n = length of clear span in long direction of two-way construction, measured face-to-face of supports in slabs without beams and face to face of beam or other supports in other cases.
- **LL** = live loads.
- L_w = length of wall.
- M = bending moment.
- M_u = factored moment at section.
- M_n = nominal moment.
- P_n = nominal axial load.

- P_u = factored axial load
- S = Spacing of shear or in direction parallel to longitudinal reinforcement.
- V_c = nominal shear strength provided by concrete.
- V_n = nominal shear stress.
- V_s = nominal shear strength provided by shear reinforcement.
- V_u = factored shear force at section.
- W_c = weight of concrete. (Kg/m^3).
- W = width of beam or rib.
- W_u = factored load per unit area.
- Φ = strength reduction factor.
- ϵ_c = compression strain of concrete = 0.003mm/mm .
- ϵ_s = strain of tension steel.
- ϵ'_s = strain of compression steel.
- ρ = ratio of steel area .

الفصل الأول

المقدمة

1

- 1.1 المقدمة.
- 2.1 أهداف المشروع.
- 3.1 مشكلة المشروع.
- 4.1 حدود مشكلة المشروع.
- 5.1 المسلمات.
- 6.1 فصول المشروع.
- 7.1 إجراءات المشروع.

1.1 المقدمة

العلم والعمل من ضرورات الحياة وهما متكاملان فالمجتمع لا ينمو ولا يبيض ولا يتطور إذا افقر للتعليم وهذا نحن نتكلم عن التعليم التقني الذي يكسب الفرد مهنة أو حرفة تساعد على كسب رزقه وتساهم في بناء وتطوير المجتمع، من هنا جاءت فكرة هذا المشروع الذي يعني بدراسة مبنى ومشاعل الكلية التقنية كمشروع يمكن تصميمه وتطبيقه معمارياً وإنشائياً.

تطلب عملية التصميم عممة الأخذ بجميع النواحي للمبنى المراد إنشاؤه سواء من الناحية المعمارية التي تعنى بالمظهر العام للمبنى وكيفية توزيع الفراغات والمساحات داخله وربط الأقسام المختلفة ببعضها البعض، أو من الناحية الإنشائية التي تعنى بتوفير النظام الإنشائي القادر على التحمل الآمن للأحمال المؤثرة على المبنى مع مراعاة الناحية الاقتصادية الأدنى الممكنة لهذا النظام الإنشائي بما لا يتعارض مع التصميم المعماري المختار. كذلك لا بد من الأخذ بالاعتبار النواحي المتعلقة بالتمديدات الكهربائية بما يتلاءم مع طبيعة المشروع المنشأ وعناصره الميكانيكية كأنظمة التدفئة والتبريد والصرف الصحي.

يتضمن المشروع تصميم النظام الإنشائي لمبنى كلية تقنية يتكون من 4 طوابق بالإضافة إلى ثلاث مشاعل منفصلة، حيث سيتم اختيار النظام الإنشائي المناسب وذلك بتوزيع العناصر الإنشائية كالأعمدة والجسور بما يتلاءم مع المخططات المعمارية ومن ثم تصميم هذه العناصر ابتداءً من العتبات وانتهاءً بالقواعد والأساسات ومن ثم تجهيز المخططات الإنشائية التنفيذية وذلك من أجل الخروج بمشروع متكامل وقابل للتنفيذ.

2.1 أهداف المشروع

تتلخص من هذا البحث بعد إكماله أن تكون قد وصلنا إلى الأهداف التالية:

1. اكتساب المهارة في القدرة على اختيار النظام الإنشائي المناسب للمشاريع المختلفة وتوزيع عناصره الإنشائية على المخططات، بما يتناسب مع التخطيط المعماري له.
2. القدرة على تصميم العناصر الإنشائية المختلفة.
3. تطبيق وربط المعلومات التي تم دراستها في المساقات المختلفة.
4. إتقان استخدام برامج التصميم الإنشائي.

3.1 مشكلة المشروع

تدور البحث حول تصميم العناصر الإنشائية لمباني الكلية التقنية متعددة الطوابق ، حيث يتضمن التصميم الإنشائي مختلف العناصر من البلاطات و الجسور والأعمدة و الأساسات بما يتلاءم مع التوزيع الإنشائي لهذه العناصر وما لا يتعارض مع التصميم المعماري.

4.1 حدود مشكلة المشروع

يقتصر العمل لهذا المشروع على الناحية الإنشائية فقط، حيث سيتم العمل خلال الفصلين الأول والثاني من السنة الدراسية 2014-2015 من خلال مقدمة مشروع التخرج في الفصل الأول و مشروع التخرج في الفصل الثاني.

5.1 المسلمات

- (1) اعتماد الكود الأمريكي في التصميم الإنشائية المختلفة (ACI-318-08) .
- (2) استخدام برامج التحليل والتصميم الإنشائي مثل (Atir, safe, Etabs , Sap 2000).
- (3) برامج أخرى مثل Microsoft office Word & Power Point & Autocad 2014 .

6.1 فصول المشروع

يحتوي هذا المشروع على أربعة فصول وهي:

- 1- الفصل الأول: يشمل المقدمة العامة ومشكلة البحث و أهدافه.
- 2- الفصل الثاني: يشمل الوصف المعماري للمشروع.
- 3- الفصل الثالث: يشمل وصف العناصر الإنشائية للمبنى.
- 4- الفصل الرابع: التحليل والتصميم الإنشائي للعناصر الإنشائية.
- 5- الفصل الخامس: النتائج والتوصيات .

7.1 إجراءات المشروع

- (1) دراسة المخططات المعمارية وذلك لفهمها من النواحي المعمارية وتوافقها مع أهداف المشروع و إختيار النظام الإنشائي الملائم.
 - (2) دراسة العناصر الإنشائية المكونة للمبنى وكيفية توزيع هذه العناصر كالأعمدة والجسور والأعصاب بشكل لا يتعارض مع التصميم المعماري الموضوع ويحقق الجانب الاقتصادي و عامل الأمان.
 - (3) تحديد الأحمال المؤثرة على المبنى وتحليل العناصر الإنشائية على هذه الأحمال .
 - (4) تصميم العناصر الإنشائية بناء على نتائج التحليل.
 - (5) إنجاز المخططات التنفيذية للعناصر الإنشائية التي تم تصميمها ليخرج المشروع بشكله النهائي المتكامل والقابل للتنفيذ.
- والجدول التالي يوضح تسلسل أعمال المشروع والزمن اللازم لكل نشاط

جدول (1-1) الجدول الزمني للمشروع خلال السنة الدراسية (2013)-(2014)

نوع النشاط	1	2	3	4	5	6	7	8	9	10	11	12	13	14	15	16	17	18	19	20	21	22	23	24	25	26	27	28	29	30	31	32	
تفريغ الزمن المقترح (أسبوع)																																	
نقل المشروع																																	
زيارة الموقع																																	
جمع العنصر حول المشروع																																	
زيارة مبنى معمريا																																	
زيارة مبنى تشييد																																	
إعداد خطة المشروع																																	
وضع خطة المشروع																																	
تحليل الإنشائي																																	
تصميم الإنشائي																																	
إعداد مخططات المشروع																																	
كتابة المشروع																																	
وضع المشروع																																	

الفصل الثاني

الوصف المعماري

2

- 1.2 مقدمة.
- 2.2 لمحة عن المشروع.
- 3.2 موقع المشروع.
- 4.2 أهمية الموقع.
- 5.2 وصف المساقط الأفقية للمبنى.
- 6.2 وصف الواجهات.

1.2 مقدمة

تعتبر العمارة أحد أبرز العلوم الهندسية، وهي ليست وليدة هذا العصر؛ بل هي منذ أن خلق الله تعالى الإنسان الذي أطلق العنان لمواهبه وخواطره، فانتقل بهذه المواهب من حياة الكيوتو إلى أفضل صورة من صور الرفاهية، مستغلاً ما وهبه الله من جمال لهذه الطبيعة الخلابة.

وبهذا أصبحت العمارة فن وموهبة وأفكار، تستمد وقودها مما وهبه الله للمعماري من مواهب الجمال. وإذا كان لكل فن أو علم ضوابط وحدود يقف عندها فإن العمارة لا تخضع لأي حد أو قيد، فهي تتأرجح ما بين الخيال والواقع؛ والنتيجة قد تكون أبنية متناهية البساطة والصرامة تثير فينا بعض الفضول رغم أنها قد نخشى لنا العديد من المفاجآت عندما ندخلها وتتفاعل مع تفاصيلها.

إن عملية التصميم لأي منشأ أو مبنى تتم عبر عدة مراحل حتى يتم إنجازه على أكمل وجه، تبدأ أولاً بمرحلة التصميم المعماري حيث يتم في هذه المرحلة تحديد شكل المنشأ ويؤخذ بعين الاعتبار تحقيق الوظائف والمتطلبات المختلفة التي من أجلها سيتم إنشاء هذا المبنى، حيث يجري توزيع أولي لمراقفه، بهدف تحقيق الفراغات والأبعاد المطلوبة وتحديد مواقع الأعمدة والمحاور، وتتم في هذه العملية أيضاً دراسة الإنارة والتهوية والحركة والتنقل وغيرها من المتطلبات الوظيفية.

وبعد الانتهاء من مرحلة التصميم المعماري وإخراجها بصورتها النهائية تبدأ عملية التصميم الإنشائي التي تهدف إلى تحديد أبعاد العناصر الإنشائية وخصائصها اعتماداً على الأحمال المختلفة الواقعة عليها والتي يتم نقلها عبر هذه العناصر إلى الأساسات ومن ثم إلى التربة.

2.2 لمحة عن المشروع

المشروع عبارة مبنى رئيسي يحتوي مكتب إدارية ومكاتب مدرسين وقاعات تدريس بالإضافة إلى قاعة رياضية ومسرح وكافتيريا، ويوجد أيضاً ثلاثة أبنية أخرى وهي عبارة عن مشاغل، المشغل الأول لأعمال التجارة والحداثة، والثاني مشغل سيارات والثالث مشغل أعمال كهربائية، ويقوم المشروع على فكرة استغلال كافة الفراغات لتعمل على خدمة المستخدمين بشكل جيد.

وقد كانت هذه الأفكار تركز بشكل أساسي على استعمالات المبنى وعلى العوامل المحلية التي تؤثر في التصميم مثل مدخل المبنى وأشعة الشمس واتجاه الرياح والمناخ وغيرها.

يتكون المبنى الرئيسي من طابق تسوية وآخر أرضي وطابق أول وطابق ثاني وطابق ثالث بالإضافة إلى ثلاث مشاغل متشابهة على جزء من قطعة أرض مساحتها 44.1 دونماً، ومساحة المبنى الرئيسي 7250 متر مربع.

ومساحة المشاغل تبلغ 2323 متر مربع، أي أن المساحة الكلية للبناء هي 9573 متر مربع.

3.2 موقع المشروع

لتصميم أي مشروع فإنه ينبغي دراسة الموقع المراد إنشاء المبنى عليه بعناية فائقة سواء تعلق ذلك بالموقع الجغرافي أم بتأثير القوى المناخية السائدة في المنطقة.

بحيث تكون العناصر القائمة وعلاقتها بالتصميم المقترح في تناسق لتحقيق التصميم الأمثل، فذلك يجب إعطاء فكرة عامة عن عناصر الموقع، من توضيح للأرض المقترحة للبناء ولعلاقة الموقع بالشوارع والخدمات المحيطة، وارتفاع المباني المحيطة، واتجاه الرياح السائدة ومقدار الشمس.

وقد تم اختيار منطقة بيت عنون شمال الخليل لتنفيذ هذه الكلية حيث تمتاز هذه المنطقة بسهولة الوصول إليها وتوفر شارع رئيسي إلى قطعة الأرض ووجود كافة الخدمات الرئيسية والبنى التحتية اللازمة لتنفيذ المشروع، وتقدر قطعة الأرض المخصصة للمشروع بحوالي 44.1 دونم.

وقد تم ملائمة المشروع مع الموقع الذي تم اختياره، الشكل (1-2)، والشكل (2-2)، وكذلك تم مراعاة تحقيق الوظيفة للمبنى وتحقيق شروط الجمال، وتم مراعاة اختيار مكان مناسب من حيث التوجيه والتهوية وحركة الشمس والرياح.



الشكل (1-2): موقع قطعة الأرض الخاصة بالمشروع

4.2 أهمية الموقع

تكمن أهمية هذا الموقع الكائن بالقرب من بيت عنون شمال الخليل في أنه يشكل حلقة وصل بين شمال وجنوب محافظة الخليل بالإضافة إلى سهولة الوصول إليه فهناك أكثر من شارع رئيسي يخدم ذلك الموقع بالإضافة إلى قرية من الطريق رقم 60 (الالتفافي) فهذا الطريق يربط جميع مناطق الضفة الغربية.



الشكل (2-2) مخطط موقع المشروع

وان من أهم الأمور التي تميز موقع هذا المشروع وتم مراعاتها في اختيار هذا الموقع هي النقاط التالية :-

- (1) حاجة المنطقة إلى مثل هذا المشروع، واستكمالاً لمشاريع التنمية في المدينة.
- (2) توفر قطعة أرض بمساحة تستوعب حجم المشروع.
- (3) حيوية المنطقة.
- (4) سهولة الوصول إلى الموقع.
- (5) احتفاظ الموقع بسميزات طبيعية.

5.2 وصف المساقط الأفقية للمبنى

1.5.2 المبنى الرئيسي طابق التسوية

تبلغ مساحة هذا الطابق 585 متر مربع الشكل (3-2) . ويحتوي قاعة طعام كبيرة (كافتيريا) ويحتوي على مطبخ ومخازن وحمامات ، وينخفض منسوبه بمقدار 4 امتار ، ومدخله الرئيسي من الجهة الجنوبية . وهو غير متصل مع الطابق الارضي بدرج داخلي



الشكل (3-2) المسقط الأفقي لطابق التسوية

2.5.2 المبنى الرئيسي الطابق الأرضي

يتكون هذا الطابق من قسمين غير متصلين الشكل (4-2) تبلغ مساحتهما 1892 متر مربع. القسم الصغير يحتوي على مجموعة من المكاتب وقسم شؤون الموظفين والشؤون المالية وقسم الخدمات التقنية وتبلغ مساحته 585 متر مربع، ومنسوبه صفر مع مستوى الأرض ومدخله من الجهة الشمالية الغربية.

أما القسم الكبير فتبلغ مساحته 1307 متر مربع ويحتوي على مكتب موظفين وقاعات تدريس ومختبرات ومكتبة ومختبرات حاسوب. ويحتوي على اندراج ومصعد كهربائي للانتقال بين المستويات المختلفة، ومدخله الرئيسي من الجهة الجنوبية ويقع على منسوب صفر ويبلغ ارتفاع الطابق 4 أمتار.



الشكل (4-2) المسقط الأفقي للطابق الأرضي

3.5.2 المبنى الرئيسي الطابق الاول

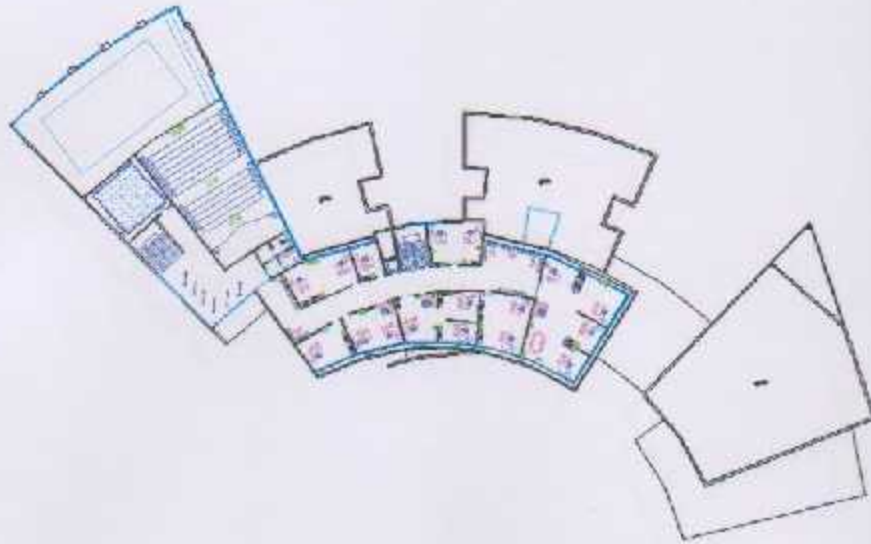
وتبلغ مساحة هذا الطابق 2100 متر مربع الشكل (5-2) ويحتوي على مكاتب موظفين وقاعة مسرح وقاعة رياضية كبيرة تحتوي على فراغات كبيرة، منسوب هذا الطابق هو 4 امتار ويبلغ ارتفاعه أربع امتار، ومنسوب سقف المسرح والقاعة الرياضية يرتفع 8 امتار عن منسوب أرضية الطابق، كما ويوجد أتراج ومصعد كهربائي لتسهيل التنقل بين المستويات المختلفة، والمدخل الرئيسي لهذا الطابق من الجهة الجنوبية حيث يتم النخول للمبنى عن طريق درج بسبب ارتفاعه عن منسوب الأرض.



الشكل (5-2) السقط الافقي للطابق الاول

4.5.2 المبنى الرئيسي الطابق الثاني

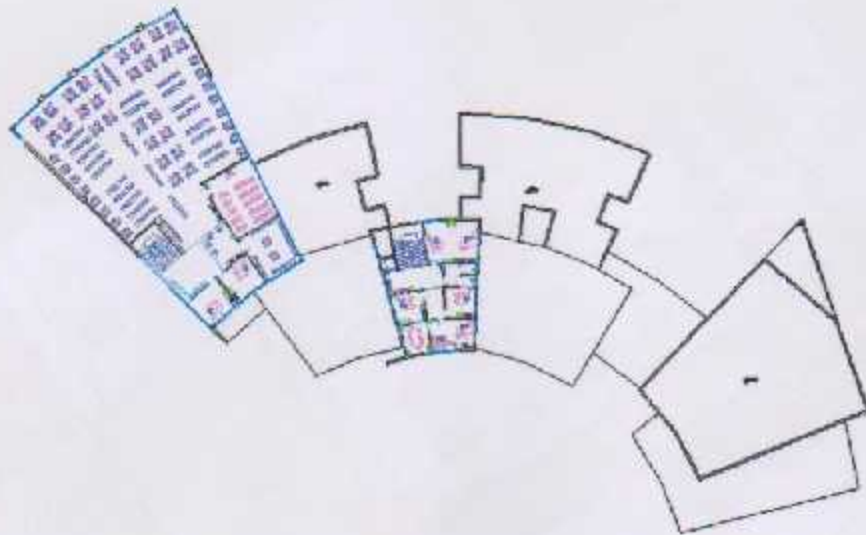
تبلغ مساحة هذا الطابق 1607 متر مربع ويحتوي على مكاتب موظفين و مسرح ومصلى الشكل (2-6). ويحتوي على أدراج للتنقل بين المستويات المختلفة ومنسوب هذا الطابق هو 8 أمتار عن سطح الأرض وارتفاع الطابق هو 4 أمتار.



الشكل (2-6) المسقط الافقي للطابق الثاني

5.5.2 المبنى الرئيسي الطابق الثالث

تبلغ مساحة هذا الطابق 1069 متر مربع ويحتوي على مكتب رئيس الكلية ومكتب رئيس الموظفين ومجموعة من المكاتب كما ويحتوي مكتبة كبيرة الشكل (7-2) ومنسوب هذا الطابق هو 12 متر عن مستوى سطح الأرض ويبلغ ارتفاع الطابق 4 أمتار .



الشكل (7-2) المسقط الأفقي للطابق الثالث

6.5.2 المشغل الأول

يتكون المشغل الأول من قسمين متصلين تبلغ مساحتهما 787 متر مربع الشكل (8-2) وطابق تسوية مساحته 160 متر مربع يحتوي القسم الأول على مشغل حدادة ومخازن ومستودعات لمواد الحدادة ومدخله الرئيسي من الجهة الجنوبية الغربية، أما القسم الثاني فهو عبارة عن مشغل نجارة ويحتوي على مستودع لمواد النجارة ومدخله الرئيسي من الجهة الجنوبية الشرقية.



الشكل (8-2) المسقط الأفقي للمشغل الأول

6.5.2 المشغل الأول

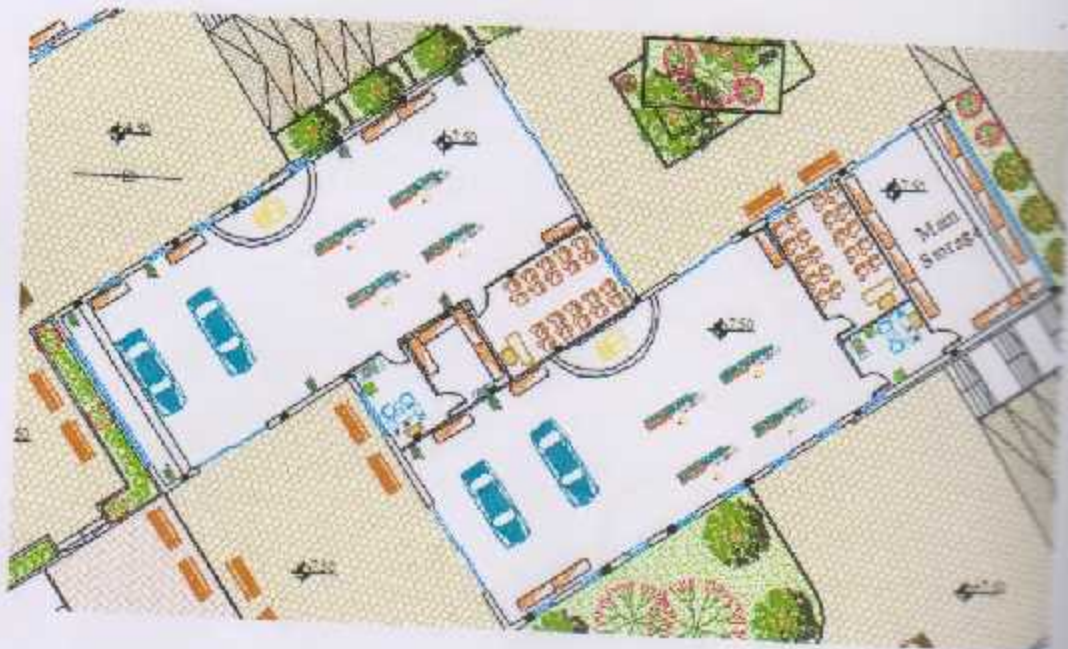
يتكون المشغل الأول من قسمين متصلين تبلغ مساحتهما 787 متر مربع الشكل (8-2) وطابق تسوية مساحته 160 متر مربع يحتوي القسم الأول على مشغل حدادة ومخازن ومستودعات لمواد الحدادة ومدخله الرئيسي من الجهة الجنوبية الغربية. أما القسم الثاني فهو عبارة عن مشغل نجارة ويحتوي على مستودع لمواد النجارة ومدخله الرئيسي من الجهة الجنوبية الشرقية.



الشكل (8-2) المسقط الأفقي للمشغل الأول

7.5.2 المشغل الثاني

وهو عبارة عن مشغل سيارات مقسوم الى قسمين مساحتهما 630متر مربع الشكل (2-9)، بالإضافة الى طابق تسوية تبلغ مساحته 123 متر مربع يحتوي طابق التسوية على مخازن ومستودعات ، ويحتوي المشغل على ساحات ومواقف للسيارات بالإضافة الى مخازن للمواد والابوات ، ويمتد القسم الاول من الجهة الجنوبية الغربية والقسم الثاني مدخله الرئيسي من الجهة الجنوبية الشرقية



الشكل (2-9) المسقط الافقي للمشغل الثاني

8.5.2 المشغل الثالث

وهو عبارة عن مشغل الأعمال الكهربائية يتكون من قسمين متصلين مساحتهما 527 متر مربعاً (شكل 10-2). بالإضافة إلى طابق التسوية ومساحته 96 متر مربع يحتوي طابق التسوية على مستودعات، والمشغل يحتوي على مساحة واسعة فيها الأدوات المستخدمة للأعمال الكهربائية كما تحتوي على مخازن ومستودعات للمواد والأدوات المستخدمة.



الشكل (10-2) المسقط الأفقي للمشغل الثالث

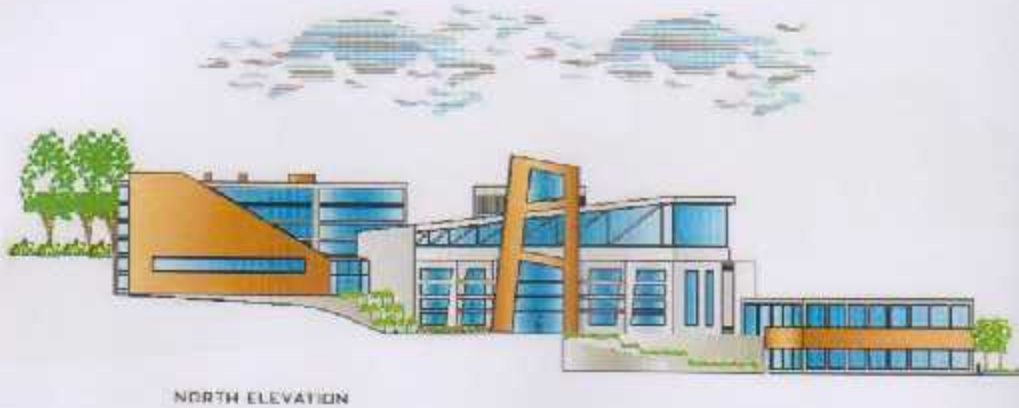
6.2 وصف التواجهات



الشكل (2-11) صورة ثلاثية الأبعاد للمبنى الرئيسي

1.6.2 المبنى الرئيسي الواجهة الشمالية

تعتبر هذه الواجهة هي الواجهة الرئيسية للمبنى لشكل (2-12). ويظهر في الجمال المعماري حيث تتكون هذه الواجهة من واجهات حجرية وواجهات زجاجية بالإضافة الى الاشرعة باللون البني ويتجلى الجمال المعماري في تباين الالوان وحدائة التصميم , كما ويظهر في هذه الواجهة اختلاف المستويات , في المستوى الأدنى يظهر المدخل الرئيسي لطابق التسوية , وفي المستوى المتوسط يظهر المدخل الرئيسي للطابق الارضي والمبنى .



الشكل (2-12) الواجهة الشمالية للمبنى الرئيسي

2.6.2 المنبر الرئيسي المواجهة الجنوبية

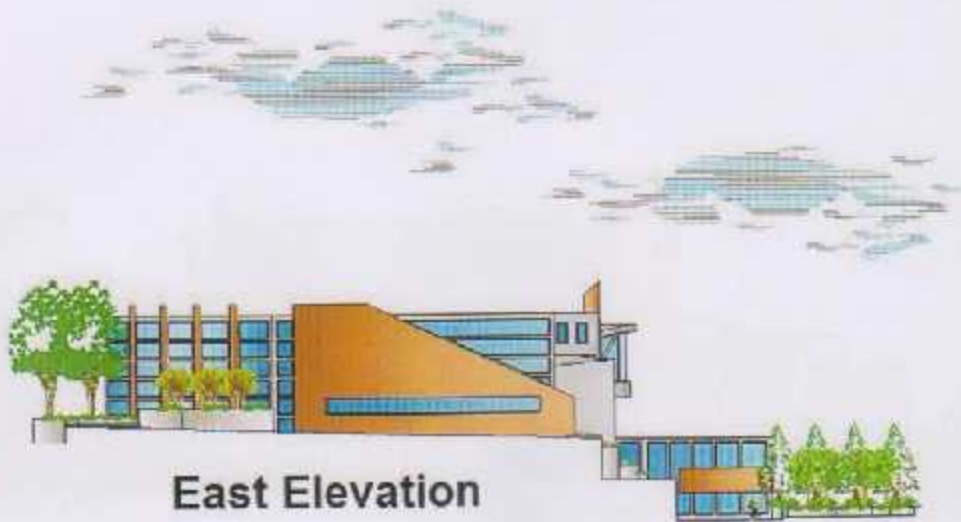
يظهر في هذه الواجهة التنوع في استخدام المواد الانشائية الشكل (2-13)، حيث يوجد واجهات حجرية وزجاجية بالإضافة الى استخدام ترسات فولاذية في الطابق الأخير لتعطي منظرًا جمالياً عند مزجها بالواجهات الزجاجية، كما ويظهر اختلاف المناسيب والمستويات. وايضا يظهر في هذه الواجهة كيفية استغلال المساحات المحيطة بالمبنى حيث تم وضع احواض لزراعة الاشجار والزهور لتزيد من الجمال المعماري، وتشكل ساحات مريحة للطلاب.



الشكل (2-13) الواجهة الجنوبية للمبنى الرئيسي

3.6.2. المبنى الرئيسي الواجهة الشرقية

يمكننا من هذه الواجهة رؤية القاعة الرياضية الكبيرة ويظهر ايضا شراع خرساني ضخم يضيف جمالا ورونقا خاصا كما ويظهر اختلاف المناسيب والمستويات ايضا الشكل (14-2).



الشكل (14-2) الواجهة الشرقية للمبنى الرئيسي

4.6.2 المبنى الرئيسي الواجهة الغربية

في هذه الواجهة الشكل (2-15) تظهر تفاصيل المبنى بالكامل حيث تظهر التراجعات واختلاف المستويات كما ويظهر التنوع في استخدام المواد الانشائية ويمكننا رؤية الساحات الخارجية ونباتات الزينة المستخدمة والإدراج الخارجية التي تسهل في عملية التنقل بين المستويات المختلفة.



WEST ELEVATION

الشكل (2-15) الواجهة الغربية للمبنى الرئيسي

5.6.2 المشغل الواجهة الشمالية الغربية

يظهر في هذه الواجهة المدخل الرئيسي للقسم الأول من المشغل ويظهر المواد المستخدمة في بناء الواجهة وهي الحجر البني والزجاج، كما ويظهر أن القسمين لهما نفس المنسوب الشكل (2-16).



الشكل (2-16) الواجهة الشمالية الغربية للمشغل

6.6.2 المشغل الواجهة الشمالية الشرقية

يظهر في هذه الواجهة المدخل الرئيسي للقسم الثاني من المشغل كما ويظهر اختلاف المستويات وطابق التسوية كما يمكننا رؤية الجمال المعماري في التصميم الحديث وتباين الألوان الشكل (2-17).



الشكل (2-17) الواجهة الشمالية الشرقية للمشغل

7.6.2 المشغل الواجهة الجنوبية الغربية

يظهر في هذه الواجهة الجمال المعماري في التصميم حيث يمكننا رؤية الانسجام والدمج بين العناصر الانشائية والجمالية كما يطر المدخل الخلفي للمشغل للشكل (18-2). و يظهر عدم وجود اختلاف في المستويات من هذه الجهة .

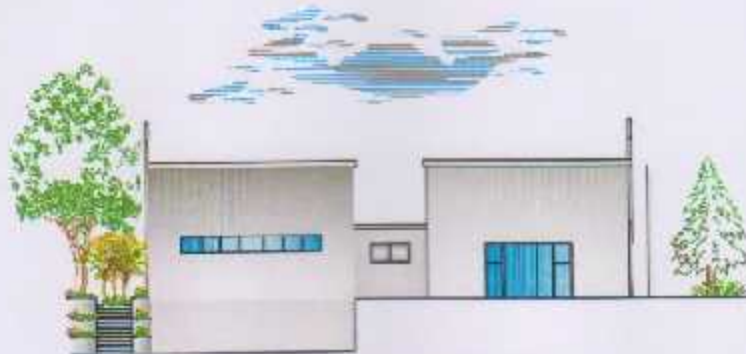


SOUTH-WEST ELEVATION

الشكل (18-2) الواجهة الجنوبية الغربية للمشغل

8.6.2 المشغل الواجهة الجنوبية الشرقية

يظهر في هذه الواجهة المدخل الخلفي للمشغل , كما ويظهر اختلاف المناسيب بين القسمين ويظهر في القسم الايمن طابق التسوية الشكل (19-2).



SOUTH-EAST ELEVATION

الشكل (19-2) الواجهة الجنوبية الشرقية للمشغل

الفصل الثالث

الوصف الإنشائي

3

1.3 المقدمة.

2.3 هدف التصميم الإنشائي.

3.3 الدراسات النظرية للعناصر الإنشائية في المبنى.

4.3 العناصر الإنشائية.

1.3 مقدمة

من خلال الوصف المعماري الكامل للمبنى لا بد من تطبيق الأفكار و المقترحات الموجودة في التحليل المعماري في التصميم الإنشائي الذي يتماشى مع المتطلبات المعمارية والقوانين الهندسية إذ يعتمد التصميم الإنشائي بشكل أساسي على تصميم كافة العناصر الإنشائية بحيث تقاوم كافة الأحمال التي تؤثر عليها و بالتالي يجب وصف كافة هذه العناصر وصفاً دقيقاً يلبي متطلبات الحسابات الهندسية لهذا المشروع بالإضافة للحفاظ على التصميم المعماري وعدم تغييره .

2.3 هدف التصميم الإنشائي

يهدف التصميم الإنشائي بشكل أساسي إلى إنتاج منشأ متين ومتزن من جميع النواحي الهندسية الإنشائية ومقاوم لجميع المؤثرات الخارجية من أحمال ميتة وحية وأيضا أحمال بيئية من تأثير الزلازل والرياح والتلوج. وبالتالي يتم تحديد العناصر الإنشائية بناء على:

- الأمان (Safety): يتم تحقيقه عبر اختيار مقاطع للعناصر الإنشائية قادرة على تحمل القوى و الإجهادات الناتجة عنها.
- التكلفة (Cost): يتم تحقيقها عن طريق مواد البناء ومقاطع مناسبة التكلفة و كافية للغرض الذي ستستخدم من أجله.
- حدود صلاحية السبنى للتشغيل (Serviceability) من حيث تجنب أي هبوط زائد (Deflection) و تجنب التشققات (Cracks) التي تؤثر سلباً على المنظر المعماري المطلوب.
- الشكل و النواحي الجمالية للمنشأ.

3.3 الدراسات النظرية للعناصر الإنشائية في المبني

تعتبر الدراسة النظرية جزءاً رئيسياً ومهم يجب القيام به لإتمام عملية التحليل والتصميم حيث أنه من خلالها يمكن الوصول إلى أفضل ما يكون من عمليات التحليل لذلك يجب دراسة العناصر الإنشائية بشكل جيد وتحديد الأحمال الواقعة على كل عنصر للوصول إلى التصميم المتين والامن وطريقة العمل المناسبة.

1.3.3 الأحمال

لا بد للعناصر الإنشائية التي يتم تصميمها أن تكون قادرة على تحمل الأحمال الواقعة عليها دون حدوث انهيار للمنشأة ومن هذه الأحمال: الأحمال الميتة، الأحمال الحية، والأحمال البيئية.

2.3.3 الأحمال الميتة

هي أحمال تنجم عن وزن المبنى الذاتي الذي يتكون من أوزان مواد البناء المستخدمة حيث تتضمن جميع العناصر الإنشائية والتجهيزات الدائمة فهي أحمال تلازم المبنى بشكل دائم، ثابتة المقدار والاتجاه. وفيما يتعلق بالكثافة النوعية للمواد المستخدمة فهي كالتالي:

الرقم المتسلسل	المادة المستخدمة	الكثافة المستخدمة (KN/m ³)
1	البلاط	23
2	المونة	22
3	الخرسانة المسلحة	25
4	الطوب	10
5	التصارة	22
6	الزمل	16

الجدول (1-3) الكثافة النوعية للمواد المستخدمة

3.3.3 الأحمال الحية

وهي الأحمال التي تتعرض لها الأبنية والإنشاءات بحكم استعمالها المختلفة ، أو استعمالات جزء منها ، بما في ذلك الأحمال الموزعة والمركزة، وهي تشمل :

1. أوزان الأشخاص مستعملى المنشأة.
2. الأحمال الديناميكية كالأجهزة التي ينشأ عنها اهتزازات تؤثر على المنشأة .
3. الأحمال الساكنة والتي يمكن تغيير أماكنها من وقت لآخر ككثاث البيوت ، والأجهزة والآلات الاستقبكية غير المثبتة، والمواد المخزنة و الإثاث والأجهزة والمعدات، والجدول (2-3) يبين قيمة الأحمال الحية اعتمادا على نوعية استخدام المبنى حسب الكود الأردني.

الحمّل الحى (KN/m ²)	طبيعة الاستخدام	الرقم المتسلسل
5.0	مواقف السيارات	1
5.0	المخازن	2
3.0	الممرات والأدراج	3
5.0	المنطاعم وصالات	4
7.5	منصات المسرح	5
2.0	قاعات المعدادات	6
2.5	مكاتب الإستعلام	7
3.0	القاعات التدريسية	8

الجدول (2-3) الأحمال الحية

4.3.3 الأحمال البيئية

هي النوع الثالث من الأحمال التي يجب أخذها بعين الاعتبار عند التصميم، وهذه الأحمال تتمثل في:

1. الرياح

عبارة عن قوى أفقية تؤثر على المبنى ويظهر تأثيرها في المباني المرتفعة وهي القوى التي تؤثر بها الرياح على الأبنية أو المنشآت أو أجزاءها وتكون موجبة إذا كانت ناتجة عن ضغط وسالبة إذا كانت ناتجة عن شدة وتقالص بالكيلو نيوتن لكل متر مربع (KN/m^2). وتحدد أحمال الرياح اعتماداً على ارتفاع المبنى عن سطح الأرض، والموقع من حيث الإحاطة من مباني سواء كانت مرتفعة أو منخفضة.

2. الثلوج

هي الأحمال التي يمكن أن يتعرض لها المنشأ بفعل تراكم الثلوج، ويمكن تقييم أحمال الثلوج اعتماداً على الأسس التالية:

- ارتفاع المنشأة عن سطح البحر.

- ميلان السطح المعرض لتساقط الثلوج.

و الجدول التالي يبين قيمة أحمال الثلوج حسب الارتفاع عن سطح البحر حسب الكود الأردني.

الجدول (3-3): قيمة أحمال الثلوج حسب الارتفاع عن سطح البحر.

أحمال الثلوج (KN / M^2)	علو المنشأ عن سطح الأرض (H) (بالمتر)
0	$h < 250$
$(h-250) / 1000$	$500 > h > 250$
$(h-400) / 400$	$1500 > h > 500$
$(h - 812.5) / 250$	$2500 > h > 1500$

الجدول (3-3) : أحمال الثلوج

3. الزلازل

من أهم الأحمال البيئية التي تؤثر على المبنى و هي عبارة عن قوى أفقية و رأسية يتولد عنها عزوم منها عزوم الالتواء و عزم الانقلاب، ويمكن مقاومتها باستخدام جدران القص المصممة بساكنات و تسليح كافي يضمن سلامة المبنى عند تعرضه لمثل هذه الأحمال التي يجب مراعاتها في عملية التصميم لتقليل الخطورة و المحافظة على أداء المبنى لوظيفته أثناء الزلازل، ويتم تحديد أحمال الزلازل و قوى القص اعتماداً ورجوعاً إلى الكود المستخدم (UBC97).

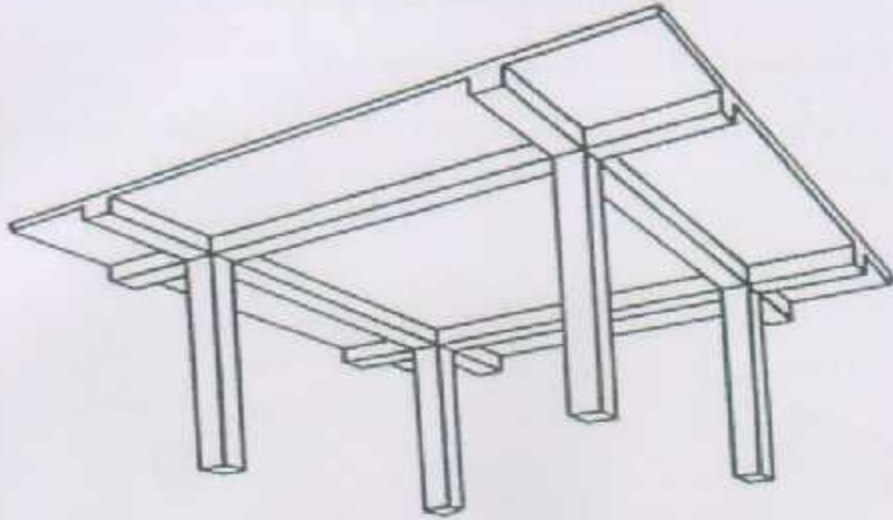
4.3 العناصر الإنشائية

تتكون جميع المباني عادة من مجموعة من العناصر الإنشائية التي تتكاتف لكي تحافظ على استمرارية وجود المبنى وصلاحيته للاستخدام البشري، وعن أهم هذه العناصر، العقدات والجسور والأعمدة والجدران الحاملة والأساسات وغيرها.

1.4.3 العقدات

هي عبارة عن العناصر الإنشائية القادرة على نقل القوى الرأسية بسبب الأحمال المؤثرة عليها إلى العناصر الإنشائية الحاملة في المبنى مثل الجسور والجدران والأعمدة، تون تعرضها إلى تشوهات. توجد أنواع مختلفة وعديدة شائعة الاستعمال من العقدات الخرسانية المسلحة ، منها ما يلي :

1. البلاطات المصمعة (Solid Slabs) ومنها ما هو باتجاه واحد وأخرى باتجاهين.

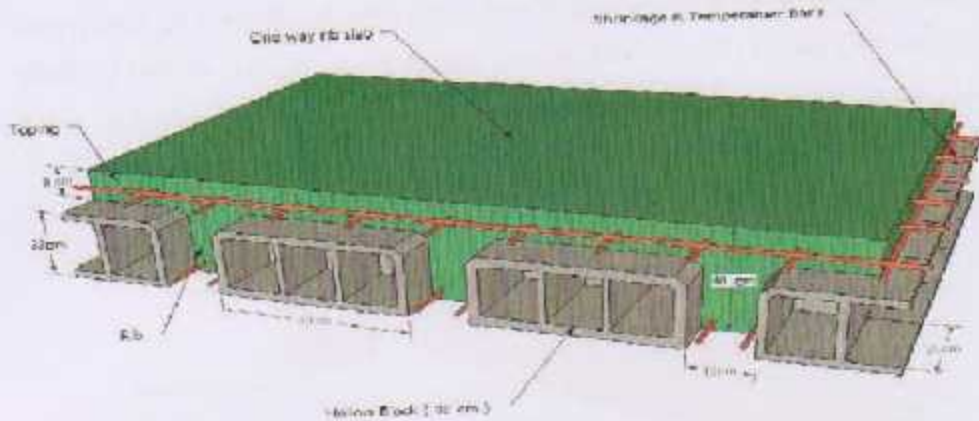


2. البلاطات المفرغة (Ribbed Slabs) وتقسّم إلى :

- عقدات العصب ذات الاتجاه الواحد (One way ribbed slab).
- عقدات العصب ذات الاتجاهين (Two way ribbed slab).

2.1.4.3 عتبات العصب ذات الاتجاه الواحد (One way ribbed slab):

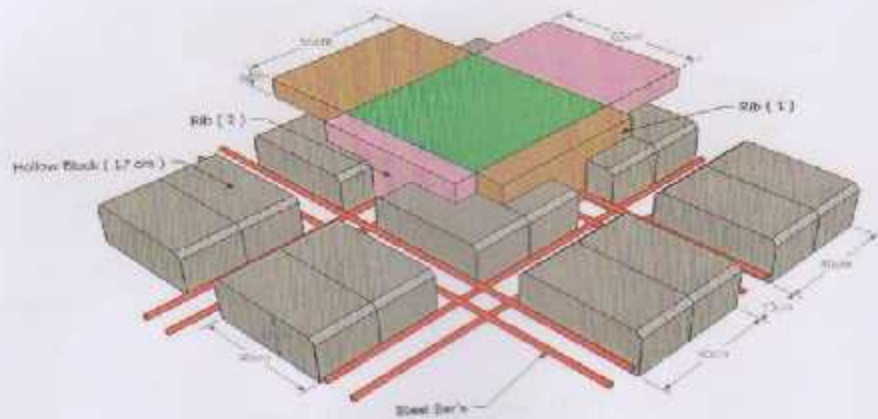
تتميز بخفة وزنها وفعاليتها.



الشكل (1-3): عتبات العصب ذات الاتجاه الواحد.

3.1.4.3 عتبات العصب ذات الاتجاهين (Two way ribbed slab):

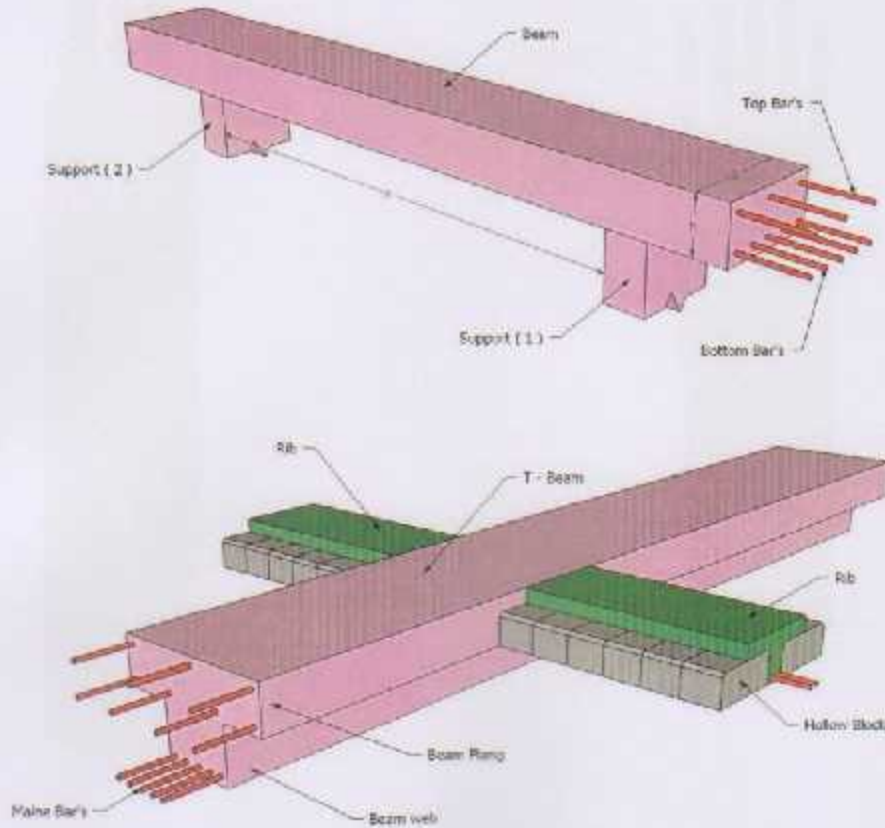
و هذا النوع لم يتم استخدامه في عتبات المباني المختلفة ، و الشكل التالي يبين العتبات ذات الإتجاهين و تكوينها الإنشائي.



الشكل (2-3): عتبات العصب ذات الاتجاهين.

2.4.3 الجسور:

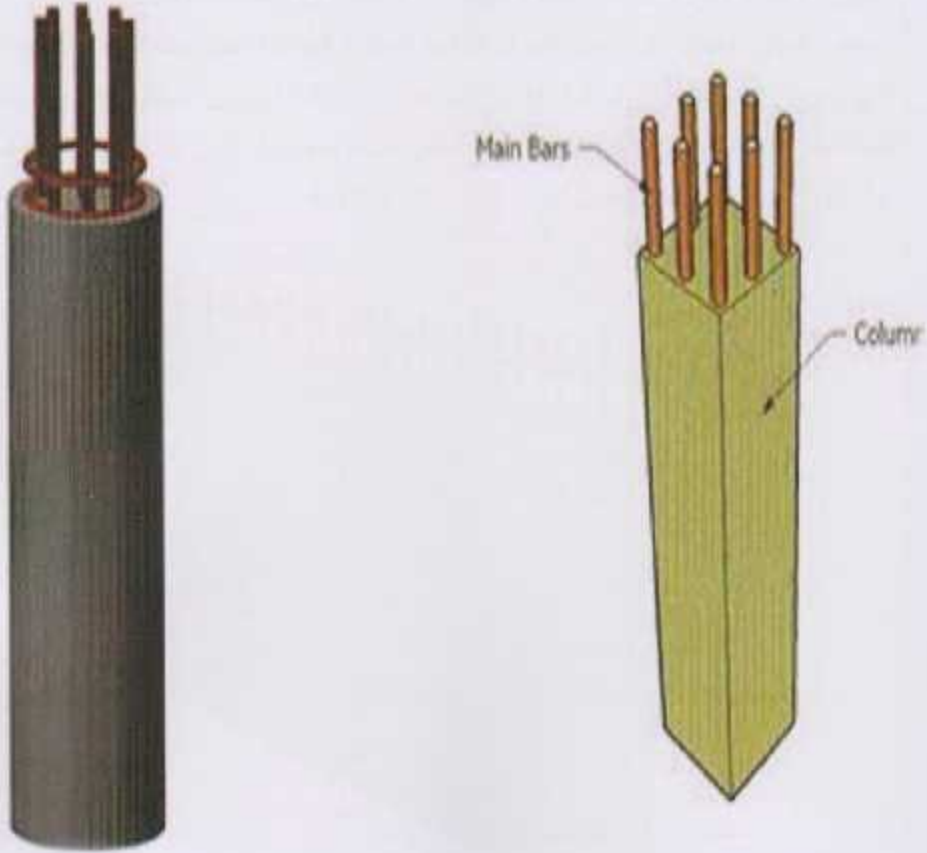
وهي عناصر إنشائية أساسية في نقل الأحمال من الأعصاب داخل العقدة إلى الأعمدة، وهي نوعين، جسور مسحورة (مخفية داخل العقدات) والجسور المدلاة "Dropped Beams" وهي التي تبرز عن العقدة من الأسفل، وفي المشروع منقوم باستخدام الجسور المسحورة والجسور المدلاة حسب الأحمال الواقعة على الجسر وكذلك حسب الفضاءات وبعد كل جسر.



الشكل (3-3) أشكال الجسور المدلاة و المسحورة.

3.4.3 الأعمدة:

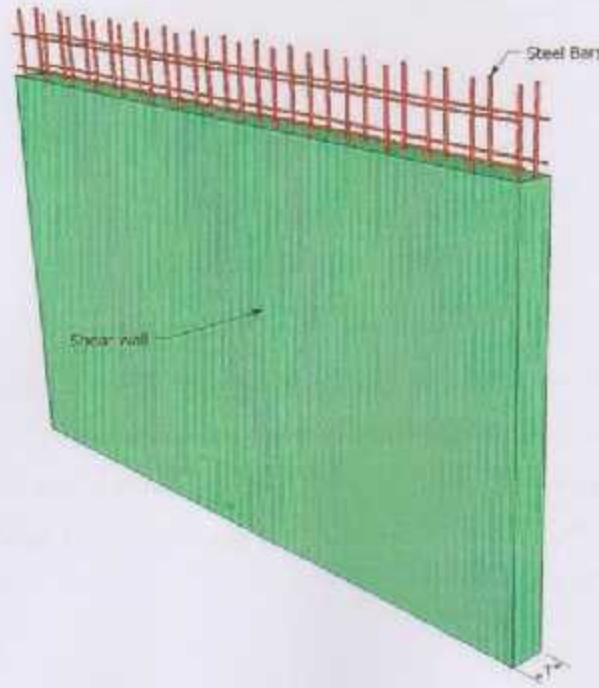
تعتبر الأعمدة العضو الرئيس في نقل الأحمال من العتبات والجسور إلى الأساسات، وبذلك فهي عنصر إنشائي ضروري لنقل الأحمال وثبات المبنى. لذلك يجب تصميمها بحيث تكون قادرة على حمل وتوزيع الأحمال الواقعة عليها، وهي متنوعة من حيث المقطع وطريقة العمل.



الشكل (3-4): إحدى أشكال الأعمدة.

4.4.3 الجدران الحاملة (جدران القص):

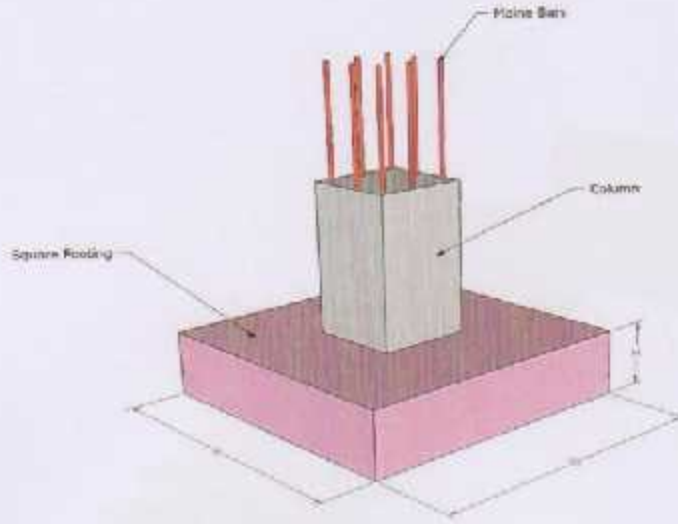
وهي عناصر إنشائية حاملة تقاوم القوى العمودية والأفقية الواقعة عليها وتستخدم بشكل أساسي لمقاومة الأحمال الأفقية مثل قوى الرياح والزلازل وتسمى جدران القص (shear wall) وهذه الجدران تسلك بطيقتين عن الحديد حتى تزيد من كفاءتها على مقاومة القوى الأفقية. وقد تم تحديد الجدران الحاملة في المباني وتوزيعها المبني ، وتتمثل الجدران الحاملة بجدران بيت الدرج، وجدران المصاعد، والجدران الأخرى التي تبدأ من أساسات المبني، وتعمل على تحمل الأوزان الرأسية المنقولة إليها كما تعمل كجدران قص تقاوم القوى الأفقية التي يتعرض لها المنشأ، ويجب توزيعها في الاتجاهين مع مراعاة أن تكون المسافة بين مركز المقاومة الذي تشكله جدران القص في كل اتجاه ومركز الثقل للمبنى أقل ما يمكن. وان تكون هذه الجدران كافية لمنع أو تقليل تولد عزوم والتي وأثاره على جدران المبني المقاومة للقوى الأفقية .



الشكل (5-3): جدار القص.

5.4.3 الأساسات:

بالرغم من أن الأساسات هي أول ما يبدأ بتنفيذها عند بناء المنشأ، إلا أن تصميمها يتم بعد الانتهاء من تصميم كافة العناصر الإنشائية في المبنى.

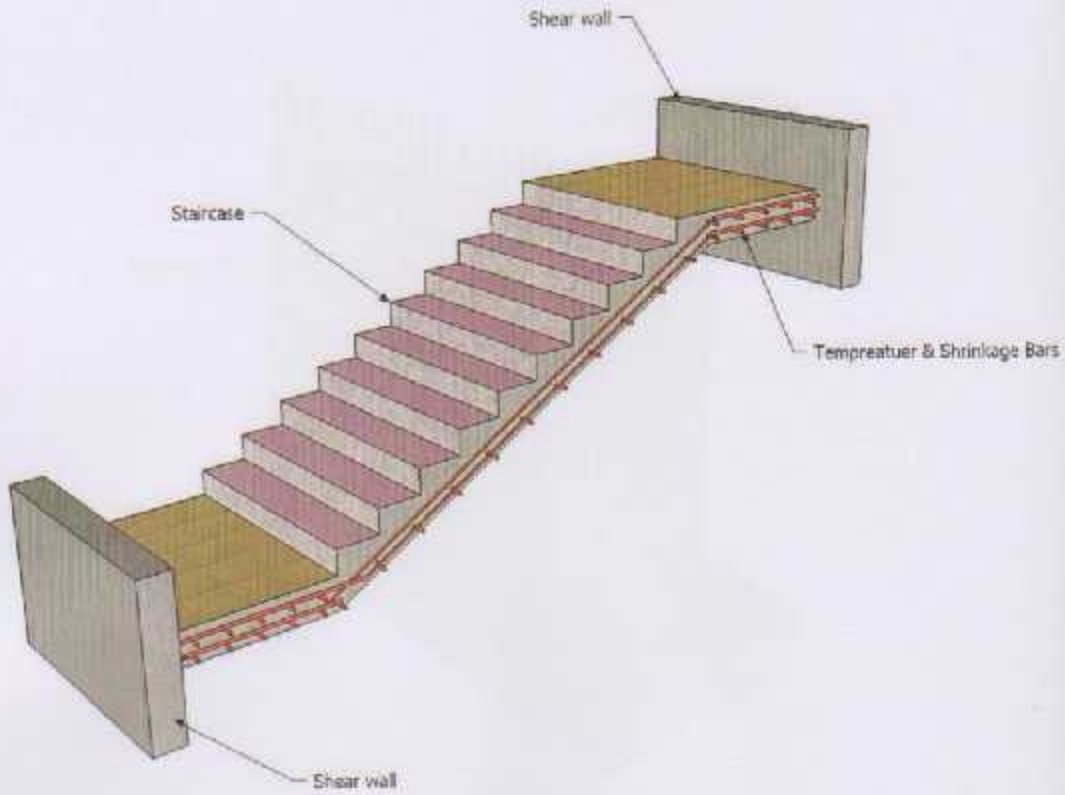


الشكل (3-6) : الأساس المنفرد

ولمعرفة الأوزان والأحمال الواقعة عليها، فإن الأحمال الواقعة على العقدة تنتقل إلى الجسور ثم إلى الأعمدة وأخيراً إلى الأساسات، وتكون هذه الأحمال هي الأحمال التصميمية للأساسات، وبناء على الأحمال الواقعة عليها وطبيعة الموقع يتم تحديد نوع الأساسات المستخدمة، ومن المتوقع استخدام أساسات من أنواع مختلفة وذلك تبعاً لقوة تحمل التربة والأحمال الواقعة على كل أساس ونظراً لما يتخذه هيكل المنشأ من شكل متدرج ليتلاءم وطبوغرافية الأرض.

6.4.3 الأراج:

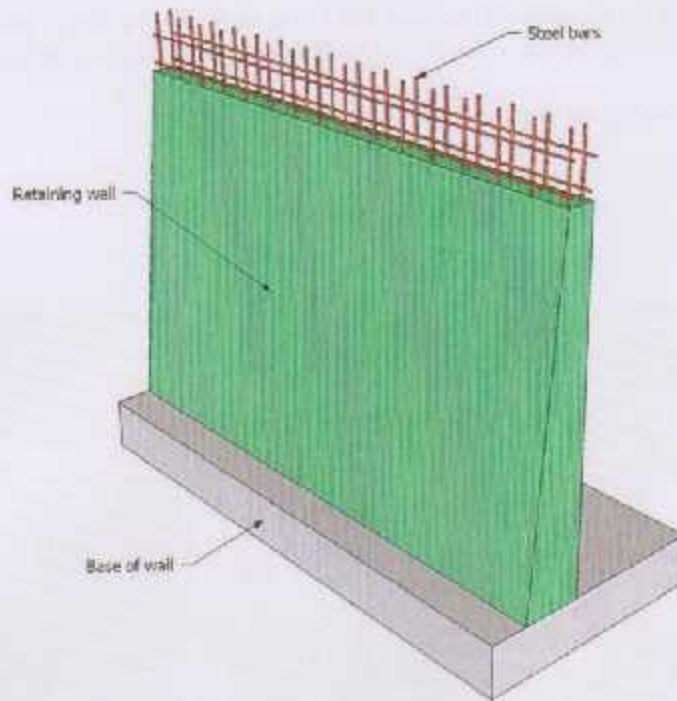
عبارة عن عناصر معمارية تستخدم للانتقال الرأسى بين المستويات المختلفة المناسيب، وتم استخدامها في مشروعاتنا بشكل واضح والشكل (7-3) يبين مقطع عام للدرج.



الشكل (7-3): الدرج .

7.4.3 الجدران الاستنادية:

بسبب الاختلاف الواضح في مناسيب قطعة أرض المشروع، كان لا بد من استخدام جدران استنادية تحمي التربة من الانهيار أو الانزلاق. و تنفذ الجدران الإستنادية من الخرسانة المسلحة.



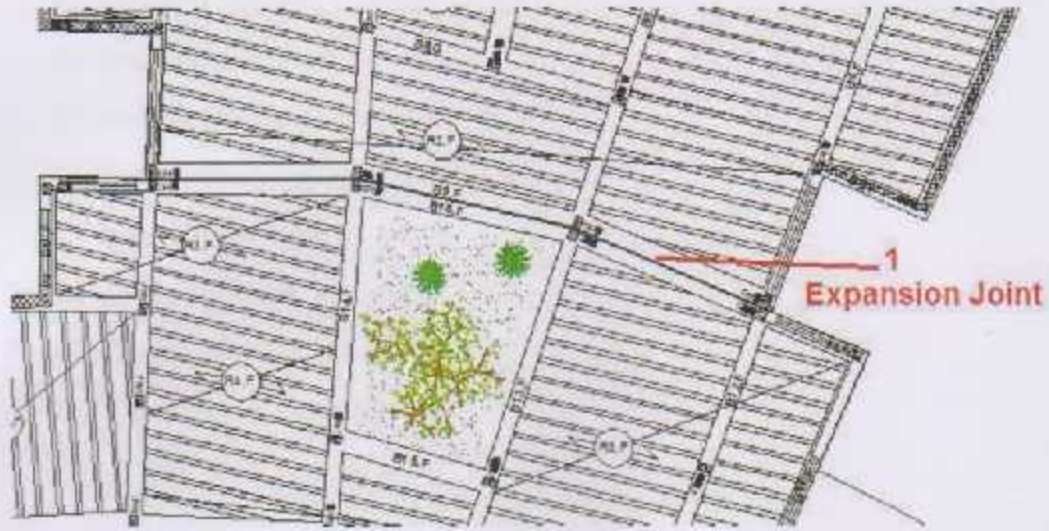
الشكل (8-3) جدار استنادي.

8.4.3 فواصل التمدد (Expansions Joints):

يمكن تحديد المسافة القصوى بين فواصل التمدد للمنشآت العادية كما يلي :

- من 40 إلى 45 م في المناطق المعتدلة كما هو الحال في فلسطين .
- من 30 إلى 35 م في المناطق الحارة .
- ويمكن زيادة هذه المسافات بشرط الأخذ بعين الاعتبار تأثير عوامل الانكماش و التمدد و الزحف .
- وفي حالة أعمال الخرسانة الكتلية كالحوائط الأستنادية و الأسوار يجب تقليل المسافات بين الفواصل و اخذ الاحتياطات اللازمة لمنع تسرب المياه من خلال فواصل التمدد .

وتم استخدام فاصلي تمدد في هذا المشروع .



الشكل (9-3) فاصل التمدد بالمعنى

Chapter Four

Structural Analysis & Design

4

- 4.1 Introduction.
- 4.2 Determination of Factored Load.
- 4.3 Determination of Thickness for one way Ribbed slab.
- 4.4 Load calculation for one way Ribbed slab.
- 4.5 Design of Topping and rib (R1, G)
- 4.6 Design of beam (B2, G)
- 4.7 Design of two-way ribbed slab (R3, S)
- 4.8 Design of one-way solid slab for theatre
- 4.9 Design of footing F1
- 4.10 Design of basement wall
- 4.11 Design of stairs (S1)
- 4.12 Design of long column (C4)
- 4.13 Design of short column (C7)

4.1 Introduction:

In This Project, there are two types of slabs: one-way ribbed and two-way ribbed slabs. They would be analyzed and designed by using finite element method of design, with aid of a computer Program called " ATIR- Software" to find the internal forces, deflections and moments for ribbed slabs, and then hand calculation would be made to find the required Reinforcement for some members.

The design strength provided by a member, its connections to other members, and its cross-sections in terms of flexure, and load, and shear is taken as the nominal strength calculated in accordance with the requirements and assumptions of ACI-code.

4.2 Factored Loads:

The factored loads on which the structural analysis and design is based for our project members, is determined as follows:

$$q_u = 1.2D + 1.6L$$

ACI-318-08 (9.2.1)

4.3 Determination of Thickness for One Way Ribbed Slab:-

The structure may be exposed to different loads such as dead and live loads. The value of the load depends on the structure type and the intended use.

The overall depth must satisfy ACI Table (9.5.a):

For Rib (R1, G) in ground floor, as shown in fig (4.1).

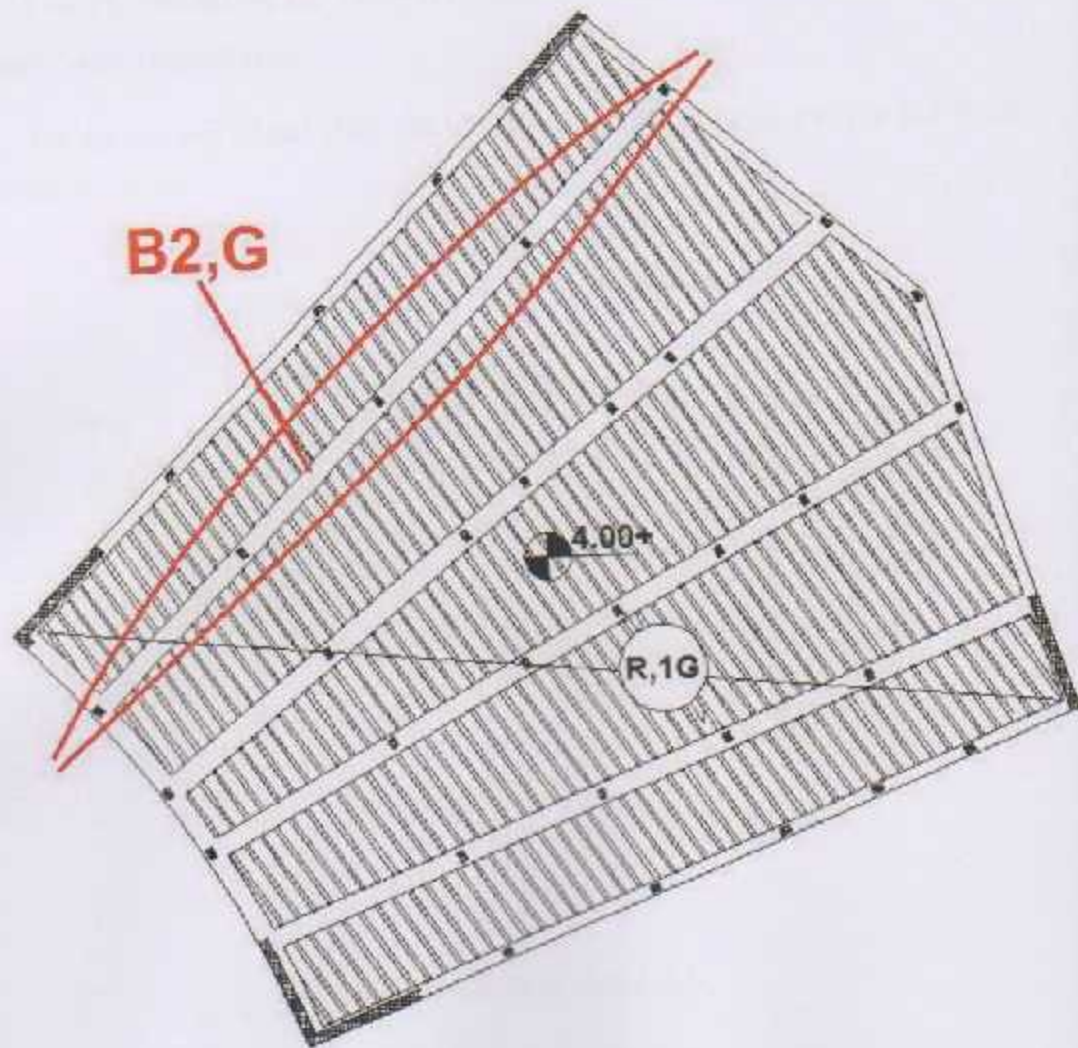


Fig. (4-1) Rib (1, G) in the Ground floor

Minimum thickness for one way ribbed slab:

$$\frac{l}{18.5} = \frac{3.40}{18.5} = 0.183m \quad (\text{One end continuous})$$

$$\frac{l}{21} = \frac{6.70}{21} = 0.319m \quad (\text{Both end continuous})$$

For Rib (1, G) in the Ground floor 32 cm control, (24cm block + 8cm topping).

4.4 Load Calculation for One-Way Ribbed Slab:

✦ One - way ribbed slab.

For the one-way ribbed slabs, the total dead load to use in the analysis and design calculated as follows:

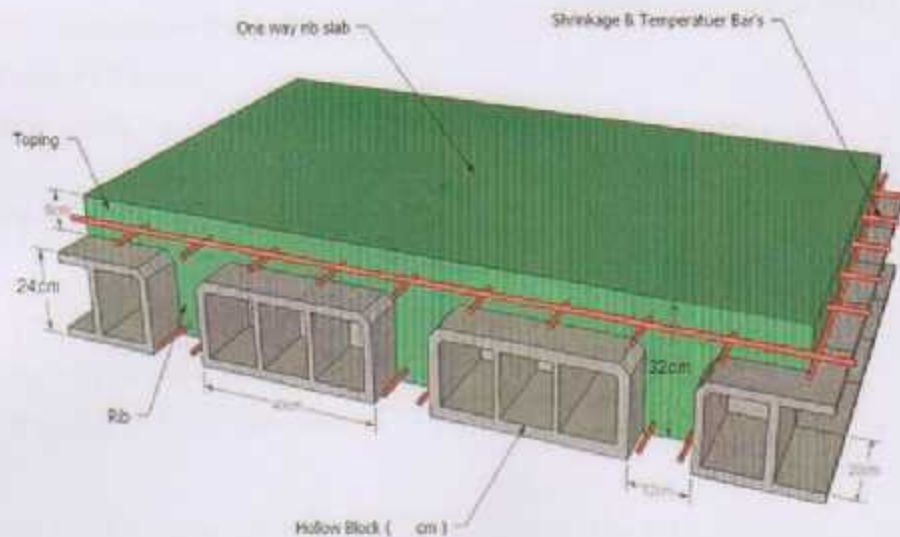


Fig. (4-2) One-Way ribbed slab

4.5.1 Topping Design:

The Topping in ribbed slab can be considered as a strip of 1 meter width and span of hollow block length with both end fixed in the ribs.

Dead Load Calculations:

Dead load from:	$\delta \times \gamma \times 1$	KN/m
Tiles	$0.03 \times 23 \times 1$	0.69
Mortar	$0.02 \times 22 \times 1$	0.44
Coarse sand	$0.07 \times 17 \times 1$	1.19
Topping	$0.08 \times 25 \times 1$	2.00
Partitions	1.5×1	1.5
	Σ	5.82

Table 4.1 (Dead load calculation for topping)

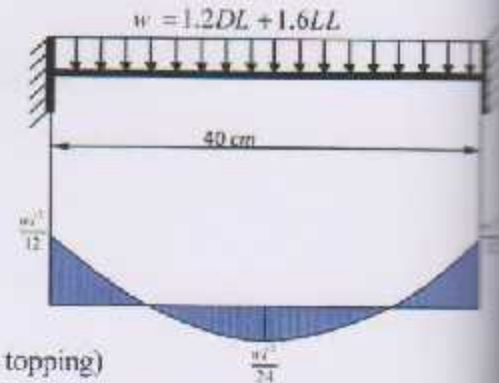


Fig. (4-3) Topping moment

$$\text{Live Load Calculation} = 2 \times 1 = 2 \text{ KN/m}$$

Total Factored Load:

$$W_u = (1.2 \times 5.82) + (1.6 \times 2) = 10.18 \text{ KN/m}$$

Assume slab fixed at supported points (ribs):

$$M_u = \frac{w_u \cdot l^2}{12} = \frac{10.18 \times 0.4^2}{12} = 0.1357 \text{ KN} \cdot \frac{\text{m}}{\text{m}} \text{ Of Strip width}$$

$\phi M_n \geq M_u$ - Strength Condition,

Where $\phi = 0.55$ - For Plain concrete

$$M_n = 0.42 \sqrt{f_c} \times S_m, \text{ Sm For rectangular section of the slab}$$

$$S_m = \frac{bh^2}{6} = \frac{1000 \times 80^2}{6} = 1066666 \text{ mm}^3$$

$$M_n = 0.42 \times 1 \times \sqrt{24} \times 1066666 \times 10^{-6} = 2.454 \text{ KN} \cdot \text{m}$$

$$\phi M_n = 0.55 \times 2.454 = 1.35 \text{ KN} \cdot \text{m}$$

$$\phi M_n = 1.35 \text{ KN} \cdot \text{m} \gg M_u = 0.1397 \text{ KN} \cdot \text{m}$$

NO reinforcement is required by analysis. Provide $A_{s, \min}$ for slabs as shrinkage and Temperature reinforcement.

$$A_s = \rho b t = 0.0018 \times 1000 \times 90 = 144 \text{ mm}^2/\text{m strip}$$

Try $\phi 8$ with $A_s = 50.27 \text{ mm}^2$

Use $4\phi 8/\text{m}$ with $A_s = 201 \text{ mm}^2/\text{m} - \phi 8 @ 250 \text{ mm}$ in both direction

Step(s) is the smallest of:

1. $3h = 3 \times 80 = 240 \text{ mm} - \text{Control}$

2. 450 mm

3. $s = 380 \left(\frac{280}{f_s} \right) - 2.5C_c \leq 300 \left(\frac{280}{f_s} \right)$

$$s = 380 \left(\frac{280}{\frac{2}{3} \times 420} \right) - 2.5C_c \leq 300 \left(\frac{280}{\frac{2}{3} \times 420} \right)$$

$$s = 330 \text{ mm} > 300 \text{ mm}$$

Use $\phi 8 @ 200 \text{ mm}$ in both directions. $s = 200 \text{ mm} < s_{\max} = 240 \text{ mm}$

4.5.2 Dead Load calculations for rib (R1,G)

Live Load calculations:

$$LL = 2 \times 0.52 = 1.04$$

Dead Load / rib: 5.164 KN/m

Live Load / rib: 1.040 KN/m

Dead Load From	$\delta \times \gamma \times b$	KN/m
Tiles	$0.03 \times 23 \times 0.52$	0.359
Mortar	$0.03 \times 22 \times 0.52$	0.343
Coarse Sand	$0.07 \times 17 \times 0.52$	0.619
Topping	$0.08 \times 25 \times 0.52$	1.040
RC Rib	$0.24 \times 25 \times 0.12$	0.720
Hollow Block	$0.24 \times 10 \times 0.40$	0.960
Plaster	$0.03 \times 22 \times 0.52$	0.343
Interior Partitions	1.5×0.52	0.780
	Σ	5.164

Table 4.2 Dead load calculations for rib (R1, G)

Effective Flange width (b_e)

ACI-318-11 (8.10.2)

b_e For T-section is the smallest of the following:

$$b_e = L / 4 = 2.16 / 4 = 54 \text{ cm}$$

$$b_e = 12 + 16t = 12 + 16(8) = 140 \text{ cm}$$

$$b_e = 52 \text{ cm} \quad \text{Control}$$

$$b_e \text{ For T-section} = 52 \text{ cm}.$$

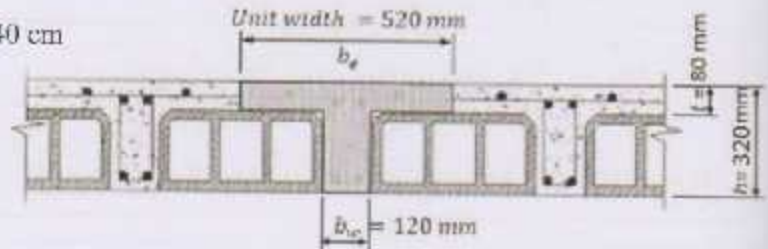


Figure 4.4 rib (R1, G) detailing

Structural Analysis of (Rib 1, G). The envelope shear and moment diagrams (for all load combinations). Using the structural analysis and design programs, we obtain the Envelope Moment diagram for Rib 1.

Geometry Units: meter, cm

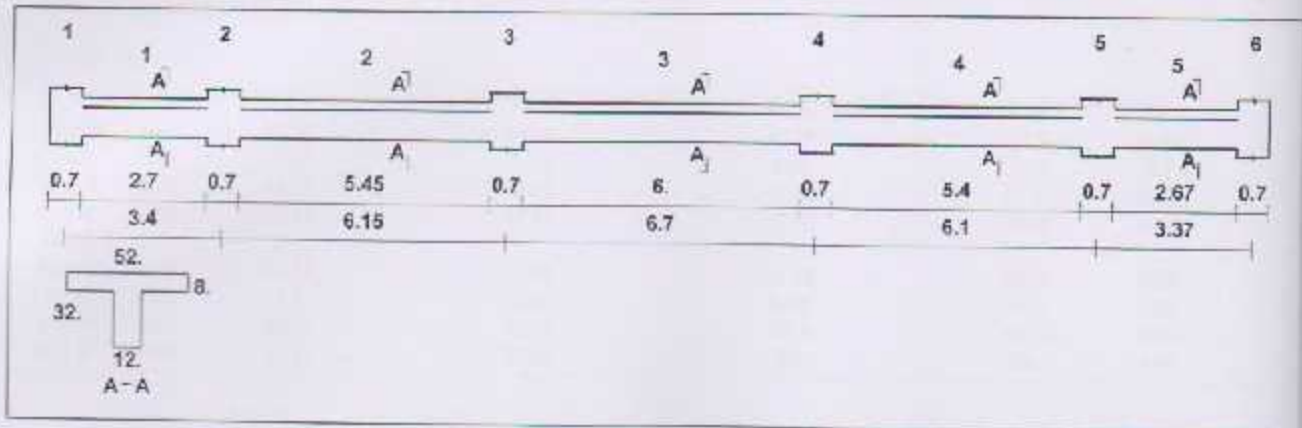


Figure 4.5 rib (R1, G) spans

Figure 4.6 moment on rib (R1, G)

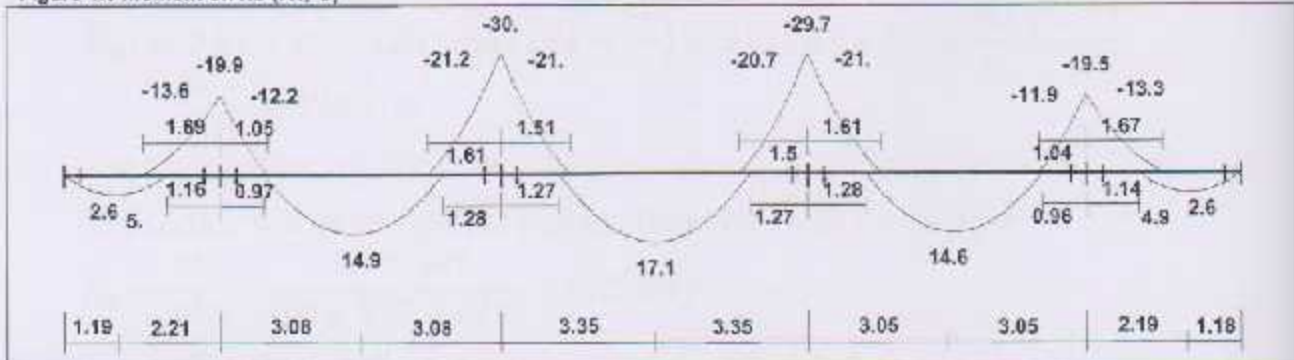


Figure 4.7 shear on rib (R1, G)

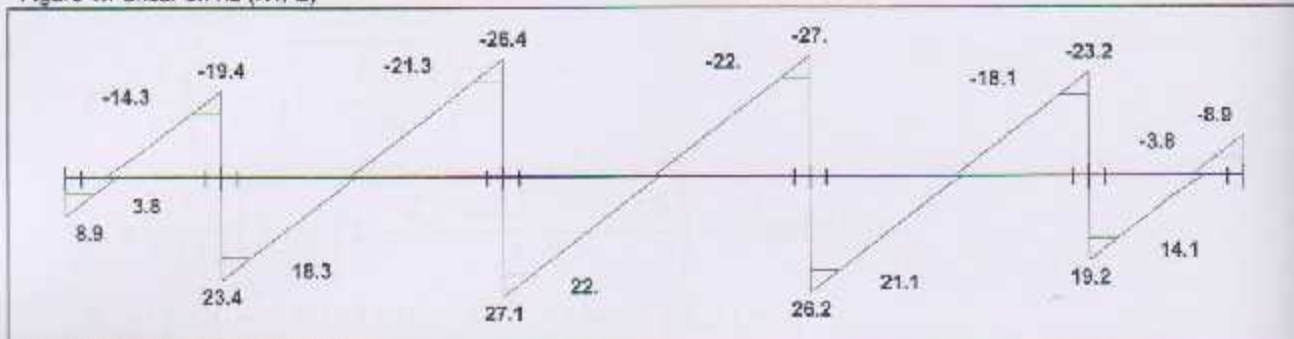


Table 4.3 reactions on rib (R1, G)

Factored						
DeadR	6.7	35.25	44.46	44.26	34.9	6.65
LiveR	2.21	7.52	9.02	8.99	7.47	2.2
Max R	8.91	42.77	53.49	53.25	42.37	8.85
Min R	5.74	38.75	47.91	47.65	36.36	5.69
Service						
DeadR	5.58	29.37	37.05	36.88	29.08	5.54
LiveR	1.38	4.7	5.64	5.62	4.67	1.37
Max R	6.97	34.07	42.69	42.5	33.75	6.92
Min R	4.98	30.31	39.21	38	30	4.85

Design rib (R1, G) for positive moment:

Assume bar diameter $\phi 12$ for main positive reinforcement

$$d = h - cover - d_{stirrups} - d_b/2$$

$$d = 320 - 20 - 10 - 12/2 = 284mm$$

The maximum positive moment in all spans of rib (R1, G) $M_u = 17.1$ KN.m

- Check if $a > h_r$

$$\bar{M}_{nf} = 0.85f_c b h_f \left(d - \frac{h_f}{2} \right)$$

$$\bar{M}_{nf} = 0.85 \times 25 \times 520 \times 80 \left(284 - \frac{80}{2} \right) = 215.70 \text{ KN/m} > \frac{M_u}{\phi} = \frac{17.1}{0.9} \\ = 19 \text{ KN.m}$$

$$\rightarrow a < h_f$$

The section will be designed as rectangular section with $b = 520 \text{ mm}$

$$R_n = \frac{M_u}{\phi b d} = \frac{8.7 \times 10^6}{0.9 \times 520 \times 284^2} = 0.230 \text{ MPa}$$

$$m = \frac{f_y}{0.85f_c} = \frac{420}{0.85 \times 25} = 19.76$$

$$\rho = \frac{1}{m} \left(1 - \sqrt{1 - \frac{2R_n m}{f_y}} \right)$$

$$\rho = \frac{1}{19.76} \left(1 - \sqrt{1 - \frac{2 \times 0.230 \times 19.76}{420}} \right) = 0.0005506$$

$$A_s = \rho b d = 0.0005506 \times 520 \times 284 = 81.31 \text{ mm}^2$$

• Check $\Lambda_{s, \min}$:

$$A_{s, \min} = 0.25 \frac{\sqrt{f_c}}{f_y} b_w d \leq \frac{1.4}{f_y} b_w d$$

$$A_{s, \min} = 0.25 \times \frac{\sqrt{25}}{420} \times 520 \times 284 = 101.43 \text{ mm}^2$$

$$\leq A_{s, \min} = \frac{1.4}{420} \times 520 \times 284 = 113.6 \text{ mm}^2 - \text{control}$$

$$\rightarrow \text{Use } 2\phi 10 \text{ with } A_s = 157 \text{ mm}^2 > \Lambda_{s, \text{req}} = 113.6 \text{ mm}^2$$

• Check for strain:

$$a = \frac{A_s f_y}{0.85 f_c b} = \frac{157 \times 420}{0.85 \times 25 \times 520} = 5.96 \text{ mm}$$

$$\beta_1 = 0.85$$

$$c = a / \beta_1 = 5.96 / 0.85 = 7.01 \text{ mm}$$

$$\epsilon_s = 0.003 \left(\frac{d - c}{c} \right) = 0.003 \left(\frac{284 - 7.01}{7.01} \right) = 0.1185 \gg 0.005 \rightarrow \text{okay}$$

Usually, no reinforcement less than $2\phi 10$ can be used. So, for all spans with positive moments equal or less than $M_u = 17.1 \text{ kN.m}$, use $2\phi 10$ for each rib.

- Design rib (R1, G) for negative moment

Assume bar diameter $\phi 12$ for main negative reinforcement.

$$d = h - \text{cover} - d_{\text{stirrups}} - d_b/2$$

$$d = 320 - 20 - 10 - 12/2 = 284 \text{ mm}$$

According to ACI 8.9.3 – for all beams built integrally with supports, design based on moments at face of support shall be permitted.

The maximum negative moment at the face of support $M_u = -21.2 \text{ kN.m}$

$$R_n = \frac{M_u}{\phi b d} = \frac{21.2 \times 10^6}{0.9 \times 120 \times 284^2} = 2.434 \text{ MPa}$$

$$\rho = \frac{1}{m} \left(1 - \sqrt{1 - \frac{2R_n m}{f_y}} \right)$$

$$\rho = \frac{1}{19.76} \left(1 - \sqrt{1 - \frac{2 \times 2.434 \times 19.76}{420}} \right) = 0.00617$$

$$A_s = \rho b d = 0.00617 \times 120 \times 284 = 210.32 \text{ mm}^2 - \text{Control}$$

$$A_{s, \text{min}} = 0.25 \times \frac{\sqrt{25}}{420} \times 520 \times 284 = 101.43 \text{ mm}^2$$

$$\leq A_{s, \text{min}} = \frac{1.4}{420} \times 520 \times 284 = 113.6 \text{ mm}^2$$

Use $2\phi 12$ with $A_s = 226.2 \text{ mm}^2$

- Check for strain:

$$a = \frac{A_s f_y}{0.85 f_c b} = \frac{226.2 \times 420}{0.85 \times 25 \times 120} = 37.26 \text{ mm}$$

$$\beta_1 = 0.85$$

$$c = a / \beta_1 = 37.26 / 0.85 = 43.83 \text{ mm}$$

$$\epsilon_s = 0.003 \left(\frac{d - c}{c} \right) = 0.003 \left(\frac{284 - 43.83}{43.83} \right) = 0.016 > 0.005 \rightarrow \text{okay}$$

Use $2\phi 12$.

$M_u = -21.2 \text{ kN.m}$, use $2\phi 12$ for each support.

- Design rib (R1, G) for shear:

The maximum shear force at distance d from the support $V_u = 21.3 \text{ kN}$



Shear strength, V_c , provided by concrete for ribs may be taken 10% greater than that for beams. This is mainly due to the interaction between the slab and the closely spaced ribs (ACI-code section 8.13.8)

$$V_n = \frac{V_u}{\phi}$$

$$V_c = 1.1 \times \frac{1}{6} \lambda \sqrt{f_c} b_w d = 1.1 \times \frac{1}{6} \times 1 \times \sqrt{25} \times 120 \times 284 \times 10^{-3} = 31.24 \text{ KN}$$

$$\phi V_c = 0.75 \times 31.24 = 23.43$$

$$\frac{1}{2} \phi V_c = \frac{23.43}{2} = 11.715 \text{ KN} < V_u = 21.31$$

→ Minimum shear reinforcement is required except for concrete joist construction.

So, **no shear reinforcement will provided.**

- Load Calculations for beam (B2, G):

WD from Rib (R1, G) on beam (B2, G):

The maximum support reaction (factored) from dead loads for rib (R1, G) upon beam (B1, G) is 35.25 KN. The distributed dead load to beam (B2, G):

$$W_D = \frac{29.37}{0.52} = 56.48 \text{ KN}$$

Assume the width of the beam $b=1\text{m}$ then the own weight of the beam can be calculated as:

$$W_{beam} = \delta \times \gamma \times b = 0.5 \times 0.7 \times 24 \times 1 = 8.4 \text{ KN}$$

$$\text{Total Load} = 56.48 + 8.4 = 64.88 \text{ KN}$$

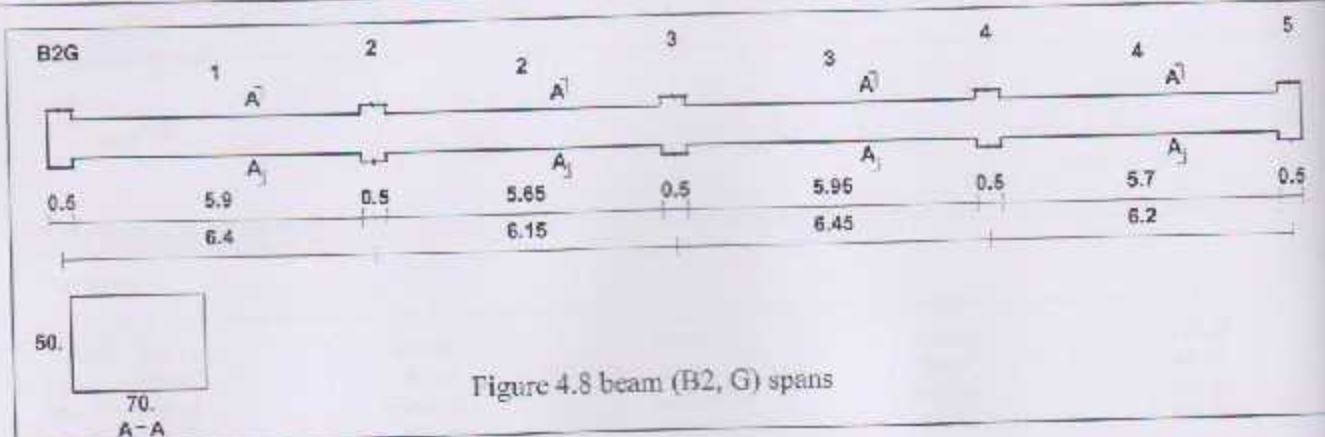
- Live load calculation for beam (B2, G):

The maximum support reaction for rib (R1, G) upon beam (B2, G)

$$W_L = \frac{4.7}{0.52} = 9.04 \text{ KN}$$

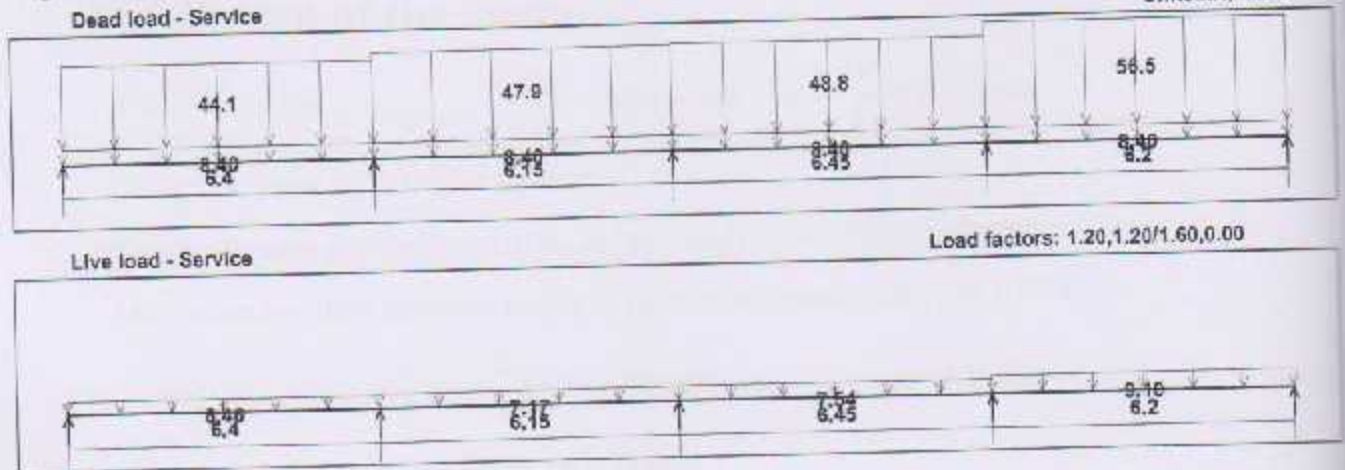
And the values will be entered on the computer program to have:

Geometry Units: meter, cm



Loading

Figure 4.9 Loads on beam (B2, G)



The moment and shear diagrams will be:

Moment/Shear Envelope (Factored) Units: kN, meter

Figure 4.10 moment for beam (B2, G)

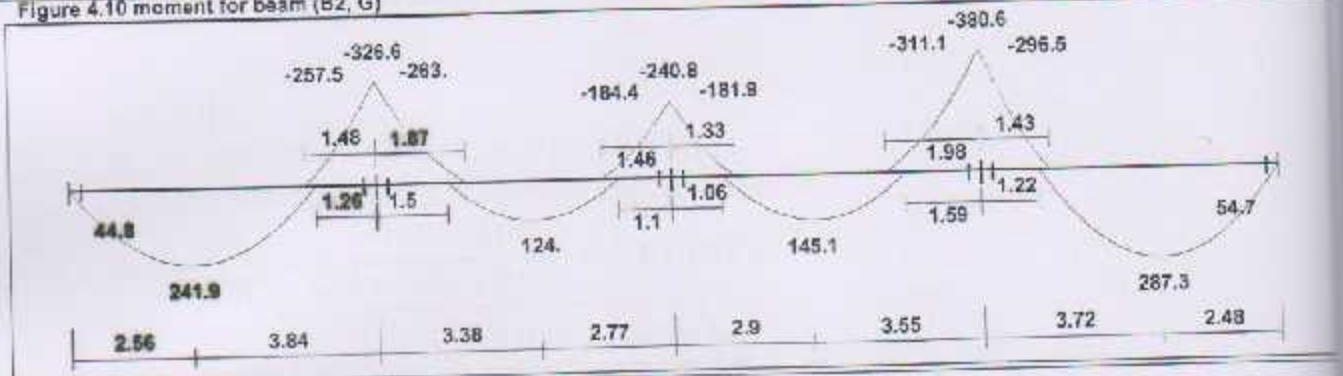


Figure 4.11 shear diagram for beam (B2, G)

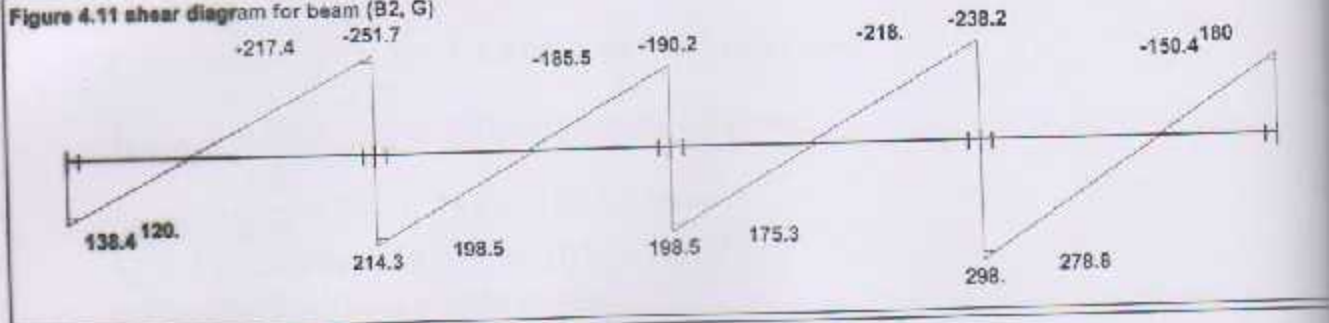


Table 4.4 reactions on beam (B2, G)

	Factored				
DeadR	158.74	465.62	395.93	533.46	190.33
LiveR	29.82	84.16	84.83	102.7	40.13
Max R	188.36	549.98	480.75	636.16	230.46
Min R	155.06	497.49	419.27	570.66	185.98
Service					
DeadR	132.28	388.19	329.94	444.55	158.61
LiveR	18.51	52.8	53.02	64.19	25.08
Max R	150.79	440.79	382.96	508.74	183.69
Min R	129.99	407.98	344.53	467.8	155.89

4.6 Design of the beam:

$$d = h - \text{cover} - d_{\text{stirrups}} - \frac{d_b}{2} = 500 - 40 - 8 - \frac{18}{2} = 443 \text{ mm}$$

Design of beam (B2, G) for flexure:

Check whether the section will be act as singly or doubly reinforced:

Maximum nominal moment strength from strain condition $\epsilon_s = 0.004$

$$c = \frac{3}{7}d = \frac{3}{7}443 = 189.85 \text{ mm} \quad \beta_1 = 0.85$$

$$a = \beta_1 c = 0.85 \times 189.85 = 161.37 \text{ mm}$$

$$M_{n,max} = 0.85 f_c a b \left(d - \frac{a}{2} \right) = 0.85 \times 25 \times 161.37 \times 700 \times \left(443 - \frac{161.37}{2} \right) \\ = 869.69 \text{ kN.m}$$

$$\phi = 0.82$$

$$M_u = 380.6 \text{ kN.m} < \phi M_n = 713.1 \text{ kN.m}$$

Design section as singly reinforced concrete section:

$$R_n = \frac{M_u}{\phi b d^2} = \frac{380.6 \times 10^6}{0.9 \times 700 \times 443^2} = 3.078 \text{ MPa}$$

$$\rho = \frac{1}{19.76} \left(1 - \sqrt{1 - \frac{2 \times 3.078 \times 19.76}{420}} \right) = 7.95 \times 10^{-3}$$

$$A_s = \rho b d = 7.95 \times 10^{-3} \times 700 \times 443 = 2466.4 \text{ mm}^2$$

$$A_{s,min} = 0.25 \times \frac{\sqrt{25}}{420} \times 700 \times 443 = 922.91 \text{ mm}^2$$

$$A_{s,min} = \frac{1.4}{420} \times 700 \times 443 = 1033.67 \text{ mm}^2$$

$$A_s = 2466.4 \text{ mm}^2 > A_{s,min} = 1033.67 \text{ mm}^2$$

→ Use 10 ϕ 18 with $A_s = 2544.69 \text{ mm}^2$

Check for strain:

$$a = \frac{A_s f_y}{0.85 f_c b} = \frac{2544.69 \times 420}{0.85 \times 25 \times 700} = 71.85 \text{ mm}$$

$$\beta_1 = 0.85$$

$$c = a / \beta_1 = 71.85 / 0.85 = 84.52 \text{ mm}$$

$$\varepsilon_s = 0.003 \left(\frac{d - c}{c} \right) = 0.003 \left(\frac{443 - 84.52}{85.52} \right) = 0.0125 > 0.005 \rightarrow \text{okay}$$

$$M_n = A_s f_y \left(d - \frac{a}{2} \right) = 2544.69 \times 420 \left(443 - \frac{71.85}{2} \right) \times 10^{-6} = 435.07 \text{KN.m}$$

$$\phi M_n = 0.9 \times 435.07 = 391.56 \text{KN.m} \geq M_u = 380.5 \text{KN.m} \rightarrow \text{okay}$$

- Check for placement:

$$S_b = \frac{700 - 40 \times 2 - 8 \times 2 - 10 \times 18}{9} = 47.1 \text{mm} > 25 \text{mm} \rightarrow \text{okay}$$

- Design beam (B2, G) for shear:

Critical section at d from the face of support

$$V_{u,\max} = 278.8 \text{KN}$$

$$V_c = \frac{1}{6} \lambda \sqrt{f_c} b_w d = \frac{1}{6} \times 1 \times \sqrt{25} \times 700 \times 443 \times 10^{-3} = 252.6 \text{KN}$$

Check for section dimensions:

$$V_s = \frac{V_u}{\phi} - V_c = \frac{278.8}{0.75} - 252.6 = 119.13 \text{KN}$$

$$V_{s,\max} = \frac{2}{3} \sqrt{f_c} b_w d = \frac{2}{3} \sqrt{25} \times 700 \times 443 \times 10^{-3} = 1033.67 \text{KN}$$

$V_s < V_{s,\max}$ - the section is large enough

Find the maximum stirrups spacing:

$$\text{if } V_s < V_s = \frac{1}{3} \sqrt{f_c} b_w d \text{ then } S_{\max} \leq \frac{d}{2} \text{ or } S_{\max} \leq 600 \text{mm}$$

$$V_s = \frac{1}{3} \sqrt{25} \times 700 \times 443 \times 10^{-3} = 516.83 \text{KN}$$

$$\rightarrow V_s = 180.47 \text{KN} < V_s = 516.83 \text{KN}$$

$$\text{Then } S_{\max} \leq \frac{443}{2} = 221.5 - \text{control}$$

$$\text{or } S_{\max} \leq 600 \text{mm}$$

- Check for $V_{s,\min}$

$$A_{v,\min} = \frac{1}{16} \sqrt{f_c} \frac{b_w s}{f_{yt}}$$

But not less than

$$A_{v,\min} = \frac{1}{3} \frac{b_w s}{f_{yt}} - \text{control}$$

$$V_{s,\min} = \frac{1}{16} \sqrt{f_c} b_w d = \frac{1}{16} \sqrt{25} \times 700 \times 443 \times 10^{-3} = 96.91 \text{KN}$$

$$V_{s,\min} = \frac{1}{3} b_w d = \frac{1}{3} \times 700 \times 443 \times 10^{-3} = 103.36 \text{KN} - \text{control}$$

$$\phi V_c < V_u \leq \phi (V_c + V_{s,\min})$$

$0.75 \times 252.6 = 189.45 \text{KN} < 278.8 \text{KN} < 0.75 \times (252.6 + 103.36) = 266.97 \text{KN}$
 Or $V_s = 180.47 \text{KN} > V_{s,\min} = 103.36 \text{KN} - \text{case IV}$
 Compute the stirrups spacing required to resist the shear forces:

$$\frac{A_v}{s} = \frac{V_s}{f_{yt}d} \Rightarrow s = \frac{A_v f_{yt} d}{V_s} = 103.6 \text{mm}$$

Use 2legs stirrups $\phi 8 @ 100 \text{mm}$

4.7 Design of two-way ribbed slab (R3, S):

- The thickness of the slab is
 $h = 32 \text{cm}$ (24cm block and 8cm topping)
- Load calculations:

Material	Thickness	Density	Load calculations	Load(KN/rib)
Tiles	3cm	22	$22 \times 0.03 \times 0.52 \times 0.52$	0.178
Mortar	2cm	22	$22 \times 0.02 \times 0.52 \times 0.52$	0.119
Sand	7cm	16	$16 \times 0.07 \times 0.52 \times 0.52$	0.303
RC topping	8cm	25	$25 \times 0.08 \times 0.52 \times 0.52$	0.541
RC rib	24cm	25	$25 \times 0.24 \times 0.52 \times 0.52$	0.662
Concrete block	24cm	9	$9 \times 0.24 \times 0.12(0.4 \times 0.52)$	0.346
Plaster	2cm	22	$22 \times 0.02 \times 0.40 \times 0.40$	0.119
Partitions	1.5KN/m		$1.5 \times 0.52 \times 0.52$	0.406
			Σ	2.674

Table 4.5 dead load calculations for rib (R3, S)

Total dead load = 2.674KN/rib

Live load of the slab = 2KN/m²

$$DL = \frac{2.674}{0.52 \times 0.52} = 9.9 \text{KN/m}^2$$

$$W_D = 1.2 \times 9.9 = 11.88 \text{KN/m}^2$$

Live Load of the slab:

$$LL = 2 \text{KN/m}^2$$

$$W_D = 1.6 \times 2.0 = 2.4 \text{KN/m}^2$$

$$w = 11.88 + 2.4 = 14.28 \text{KN/m}^2$$

$$M_a = C_a w l_a^2 \quad M_b = C_b w l_b^2$$

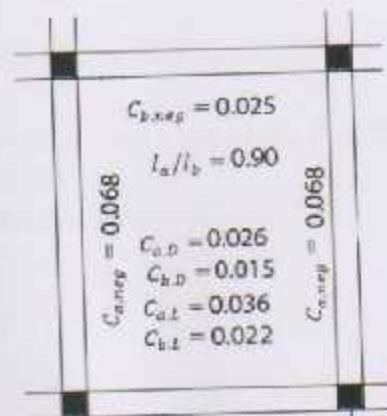


Figure 4.12 coefficients for (R3, S)

we use the tables to find the coefficients C_a, C_b

$$l_a = 7.3\text{m} \quad l_b = 6.6\text{m}$$

$$l_a/l_b = 0.9$$

From tables we find :

The loads will be by calculations using the previous factors:

$$M_{a, pos} = 0.026 \times 11.88 \times 6.6^2 \times 0.52 + 0.036 \times 2.4 \times 6.6^2 \times 0.52 = 8.95\text{KN.m}$$

$$M_{a, neg} = 0.068 \times 14.28 \times 6.6^2 \times 0.52 = 22.00\text{KN.m}$$

$$M_{b, pos} = 0.015 \times 11.88 \times 7.3^2 \times 0.52 + 0.022 \times 2.4 \times 7.3^2 \times 0.52 = 6.37\text{KN.m}$$

$$M_{b, neg} = 0.026 \times 14.28 \times 7.3^2 \times 0.52 = 9.9\text{KN.m}$$

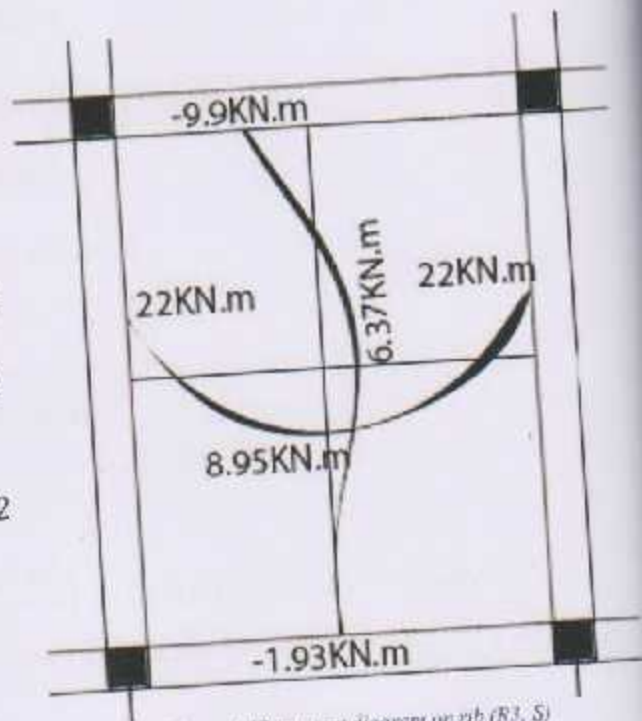


Figure 4.13-moment diagram on rib (B3, S)

Design for negative moment:

$$d = h - \text{cover} - d_{\text{stirrups}} - d_b/2$$

Assume bar diameter 14mm for main reinforcement:

$$d = 320 - 20 - 8 - 14/2 = 285\text{mm}$$

According to ACI 8.9.3 - for all beams built integrally with supports, design based on moments at face of support shall be permitted.

The maximum negative moment at the face of support $M_u = -22.0\text{KN.m}$

$$R_n = \frac{M_u}{\phi b d} = \frac{22.0 \times 10^6}{0.9 \times 120 \times 285^2} = 2.5\text{MPa}$$

$$\rho = \frac{1}{m} \left(1 - \sqrt{1 - \frac{2R_n m}{f_y}} \right)$$

$$\rho = \frac{1}{20.6} \left(1 - \sqrt{1 - \frac{2 \times 2.5 \times 20.6}{420}} \right) = 0.0064$$

$$A_s = \rho b d = 0.0064 \times 120 \times 285 = 218.88 \text{ mm}^2 - \text{Control}$$

$$A_{s,min} = 0.25 \times \frac{\sqrt{24}}{420} \times 120 \times 285 = 99.7 \text{ mm}^2$$

$$\leq A_{s,min} = \frac{1.4}{420} \times 120 \times 285 = 114 \text{ mm}^2 - \text{control}$$

$$\text{Use } 2\phi 12 \text{ with } A_s = 226.2 \text{ mm}^2 > 218.88 \text{ mm}^2$$

- Check for strain:

$$a = \frac{A_s f_y}{0.85 f_c b} = \frac{226.2 \times 420}{0.85 \times 24 \times 120} = 38.81 \text{ mm}$$

$$\beta_1 = 0.85$$

$$c = a / \beta_1 = 38.81 / 0.85 = 45.66 \text{ mm}$$

$$\epsilon_s = 0.003 \left(\frac{d - c}{c} \right) = 0.003 \left(\frac{285 - 45.66}{45.66} \right) = 0.0157 > 0.005 \rightarrow \text{okay}$$

Analysis the T-section rib for different two bars $2\phi 10$ (positive moment):

$$d = 320 - 20 - 8 - \frac{10}{2} = 287 \text{ mm}$$

$$A_{2\phi 10} = 2 \times 78.5 = 157 \text{ mm}^2$$

$$> A_{s,min} = \frac{1.4}{420} \times 120 \times 285 = 114 \text{ mm}^2$$

$$a = \frac{A_s f_y}{0.85 f_c b} = \frac{157 \times 420}{0.85 \times 24 \times 520} = 6.216 \text{ mm} < h_f = 80 \text{ mm}$$

→ rectangular section

$$c = a / \beta_1 = 6.216 / 0.85 = 7.313 \text{ mm}$$

$$M_n = A_s f_y \left(d - \frac{a}{2} \right) = 157 \times 420 \times \left(287 - \frac{6.216}{2} \right) \times 10^{-6} = 18.72 \text{ KN.m}$$

Check for strain:

$$\epsilon_s = 0.003 \left(\frac{d - c}{c} \right) = 0.003 \left(\frac{287 - 7.313}{7.313} \right) = 0.114 \gg 0.005 \rightarrow \text{okay}$$

→ $\phi = 0.9$

$$M_u = \phi M_n = 0.9 \times 18.72 = 16.84 \text{ KN.m}$$

- Design for negative -11.47 KN.m:

$$M_n = \frac{M_u}{\phi} = \frac{9.95}{0.9} = 11.05 \text{ KN.m}$$

Assume $2\phi 10$ to be used
 $d = 287 \text{ mm}$

$$R_n = \frac{M_u}{\phi b d} = \frac{11.056}{120 \times 287^2} = 1.12 \text{ MPa}$$

$m = 20.6$

$$\rho = \frac{1}{20.6} \left(1 - \sqrt{1 - \frac{2 \times 1.12 \times 20.6}{420}} \right) = 0.00274$$

$$A_s = 0.00274 \times 120 \times 287 = 94.5 \text{ mm}^2$$

$$A_{s, \min} = 114 \text{ mm}^2 \rightarrow \text{we use it}$$

Use $2\phi 10$ with $A_s = 157 \text{ mm}^2 > 114 \text{ mm}^2$

• Shear Design:

$$w_u = 14.28, W_a = 0.83 \text{ (from table)}$$

$$\text{the total load on the panel} = 6.6 \times 7.3 \times 14.28 = 668.01 \text{ KN/m}^2$$

$$\text{the total load per rib} = \frac{0.52 \times 0.75 \times 668.01}{2 \times 7.3} = \frac{217.85 \text{ KN}}{\text{rib}}$$

$$V_{ud} = V_{u, \text{face}} - w_u b_f d = 17.85 - 14.28 \times 0.52 \times 0.285 = 15.73 \text{ KN}$$

$$V_c = 1.1 \times \frac{1}{6} \lambda \sqrt{f_c} b_w d = 1.1 \times \frac{1}{6} \times 1 \times \sqrt{24} \times 120 \times 285 \times 10^{-3} = 30.716 \text{ KN}$$

$$\phi V_c = 0.75 \times 30.716 = 23.03 \text{ KN}$$

$$\frac{1}{2} \phi V_c = \frac{23.03}{2} = 11.518 \text{ KN} < V_u = 15.73$$

→ No shear reinforcement are required

4.8 Design of one-way solid slab for the theatre:

$$\text{minimum thickness} = \frac{l}{24} \text{ (one end continuous)}$$

$$= \frac{5600}{24} = 233.3 \text{ mm}$$

Use $h = 220 \text{ mm}$

Assume bar diameter $\phi 14$ for main reinforcement

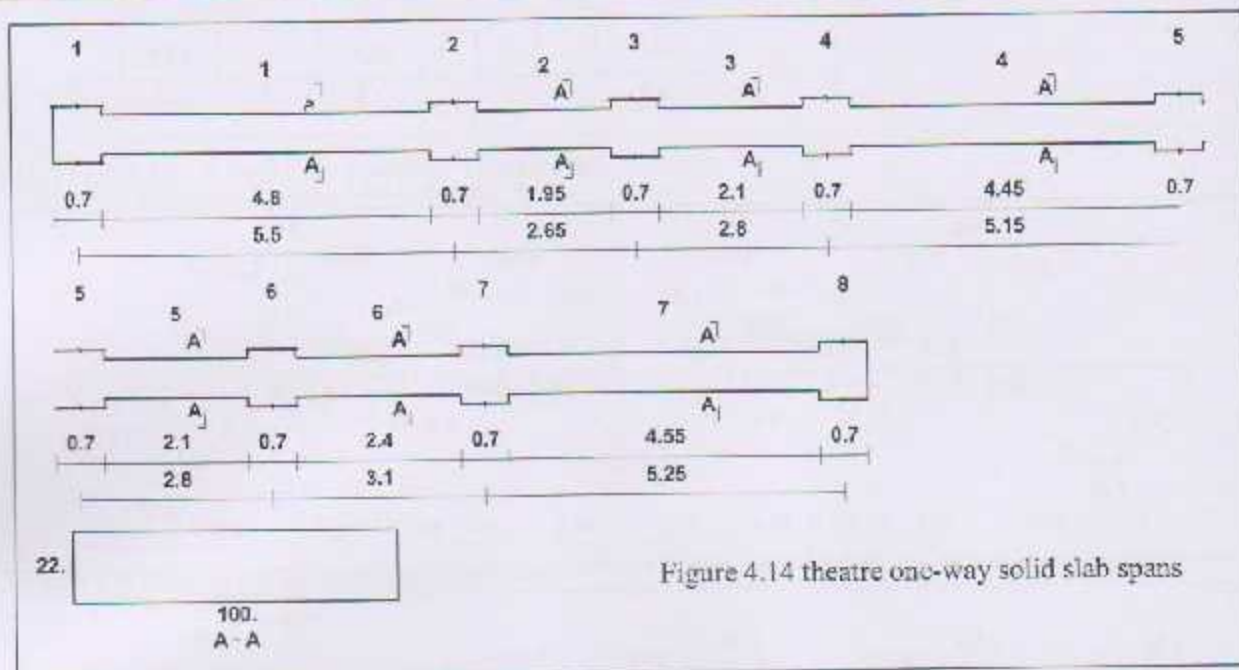
$$d = 220 - 20 - \frac{14}{2} = 193 \text{ mm}$$

Material	Thickness	Density	Load Calculation	Load(KN/m)
Tiles	3cm	22	0.03×22	0.66
Mortar	2cm	22	0.02×22	0.44
Sand	7cm	16	0.07×16	1.12

RC slab	22cm	25	0.22×25	5.50
Plaster	2cm	22	0.02×22	0.44
Partitions	2KN/m		2	2
Table 4.6 dead load calculations for theatre slab			Σ	10.16

Live load = 4KN/m

Geometry Units: meter.cm



Loading

Figure 4.15 dead load on the solid slab of the theatre
Dead load - Service

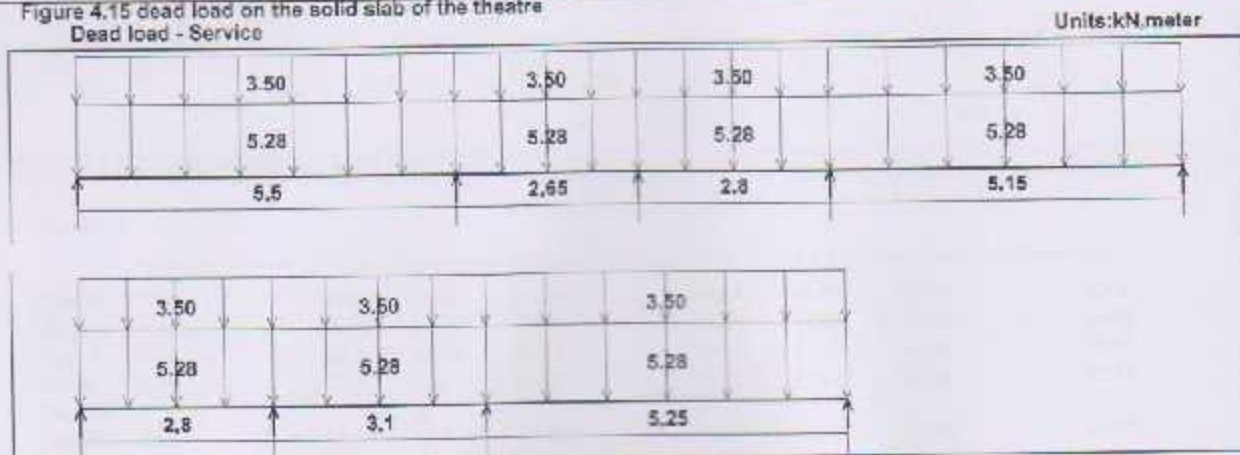
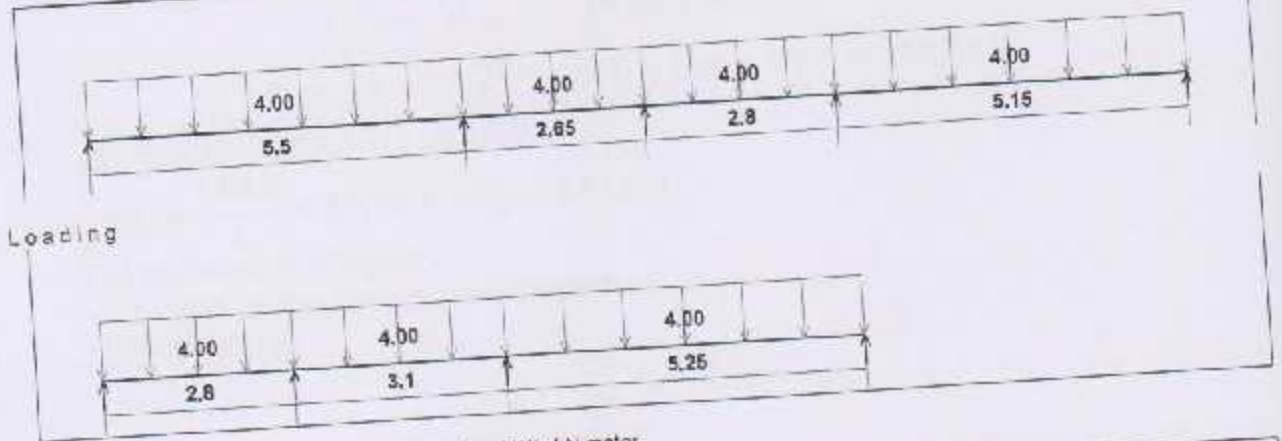


Figure 4.16 live load on the solid slab of the theatre
Live load - Service

Load factors: 1.20, 1.20/1.60, 0.00



Moment/Shear Envelope (Factored) Units: kN.meter
Figure 4.17 moment on one-way solid slab of the theatre

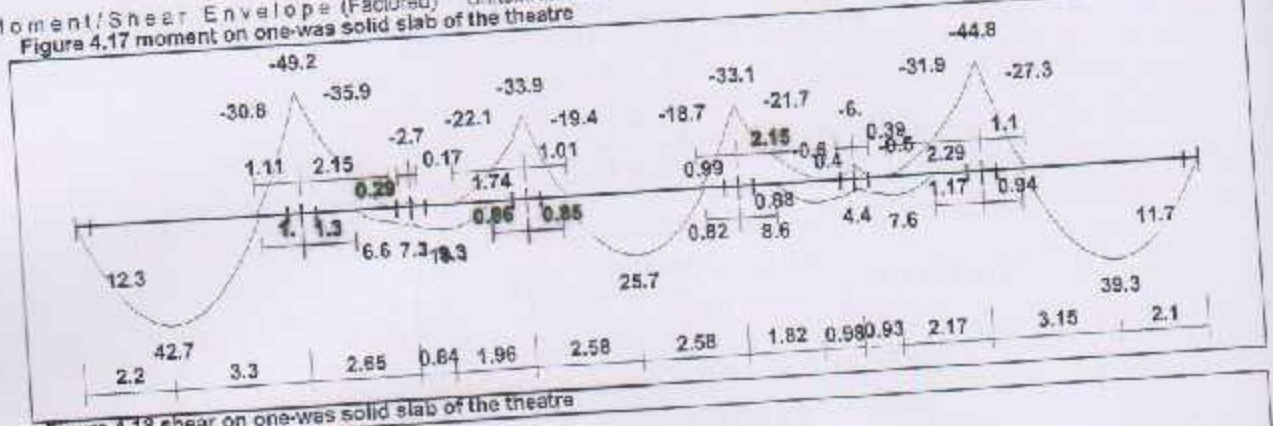


Figure 4.18 shear on one-way solid slab of the theatre

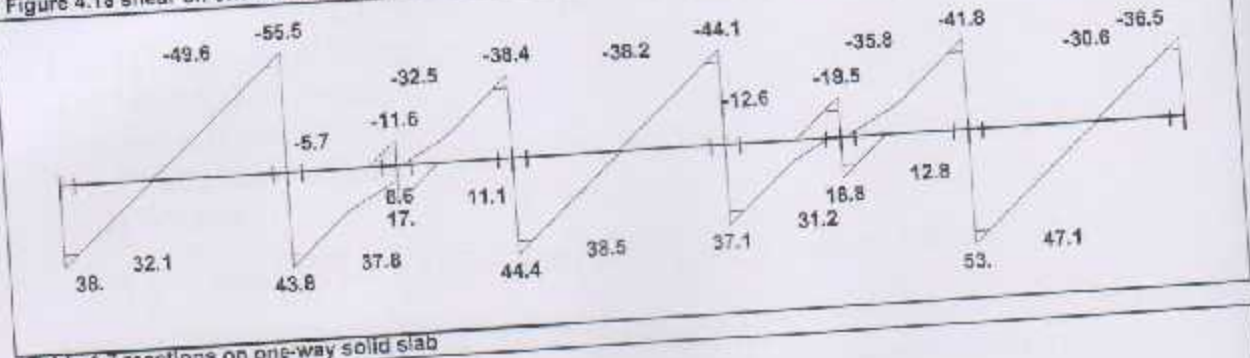


Table 4.7 reactions on one-way solid slab

Factored								
DeadR	23.46	60.96	7.92	50.28	48.94	14.87	58.27	22.4
LiveR	14.59	38.33	20.75	32.56	32.26	22.42	36.48	14.12
Max R	38.05	99.3	28.67	82.84	81.2	37.29	94.75	36.52
Min R	23.11	67.81	2.34	57.69	55.84	11.61	66.98	21.89
Service								
DeadR	19.55	50.8	6.6	41.9	40.79	12.39	48.56	18.67
LiveR	9.12	23.96	12.97	20.35	20.16	14.01	22.8	8.82
Max R	28.67	74.76	19.57	62.25	60.95	26.41	71.36	27.49
Min R	19.33	55.14	3.11	46.53	45.1	10.35	54	18.35

1. Check for shear:

$$V_{u,max} = 49.6 \text{ kN/m strip}$$

$$V_c = \frac{1}{6} \times 1 \times \sqrt{24} \times 1000 \times 193 \times 10^{-3} = 157.6 \text{ kN}$$

$$\phi V_c = 0.75 \times 157.6 = 118.2 \text{ kN}$$

$$\frac{1}{2} \phi V_c = \frac{118.2}{2} = 59.1 \text{ kN} < V_u = 49.6 \text{ kN}$$

The thickness is adequate.

2. Slab design for negative moment:

$$M_u = -49.2 \text{ kN.m}$$

$$M_n = \frac{49.2}{0.9} = 54.6 \text{ kN.m}$$

Assume bar diameter $\phi 14$

$$d = 220 - 20 - \frac{14}{2} = 193 \text{ mm}$$

$$R_n = \frac{M_u}{\phi b d} = \frac{54.6 \times 10^6}{1000 \times 193^2} = 1.466 \text{ MPa}$$

$m = 20.6$

$$\rho = \frac{1}{20.6} \left(1 - \sqrt{1 - \frac{2 \times 1.466 \times 20.6}{420}} \right) = 0.00363$$

$$A_s = 0.00363 \times 1000 \times 193 = 699.8 \text{ mm}^2$$

$$\rho = 0.00363 > \rho_{min} = 0.0018 \rightarrow \text{okay}$$

Use $5\phi 14/m \rightarrow \phi 14/200 \text{ mm}$

$$A_s = 769.7 > 699.8 \rightarrow \text{okay}$$

The step is the smallest of:

1) $3h = 3 \times 220 = 660 \text{ mm}$

2) 450 mm

3) $s = 380 \left(\frac{280}{f_s} \right) - 2.5 C_c = 380 \left(\frac{280}{\frac{2}{3} \times 420} \right) - 2.5 \times 20 = 330 \text{ mm}$

$$\leq 300 \left(\frac{280}{f_s} \right) = 300 \left(\frac{280}{\frac{2}{3} \times 420} \right) = 300 \text{ mm} - \text{control}$$

$$s = 200 < s_{max} = 300 \Rightarrow \text{okay}$$

• Check strain:

$$a = \frac{A_s f_y}{0.85 f_c b} = \frac{769.7 \times 420}{0.85 \times 24 \times 1000} = 15.8 \text{ mm}$$

$$c = a/\beta_1 = 15.8/0.85 = 18.6 \text{ mm}$$

$$\epsilon_s = 0.003 \left(\frac{d-c}{c} \right) = 0.003 \left(\frac{287-18.6}{18.6} \right) = 0.028 \gg 0.005 \rightarrow \text{okay}$$

- Design for positive moment:
 $M_u = 42.7 \text{ KN.m}$

$$M_n = \frac{M_u}{0.9} = 47.4 \text{ KN.m}$$

Assume bar diameter $\phi 14$

$$d = 220 - 20 - 14/2 = 193 \text{ mm}$$

$$R_n = \frac{M_u}{\phi b d} = \frac{47.4 \times 10^6}{1000 \times 193^2} = 1.27 \text{ MPa}$$

$m = 20.6$

$$\rho = \frac{1}{20.6} \left(1 - \sqrt{1 - \frac{2 \times 1.27 \times 20.6}{420}} \right) = 0.00313$$

$$A_s = 0.00313 \times 1000 \times 193 = 604.9 \text{ mm}^2$$

$$\rho = 0.00363 > \rho_{\min} = 0.0018 \rightarrow \text{okay}$$

Use $6\phi 12/m \rightarrow \phi 12/160 \text{ mm}$

$$A_s = 678.6 > 604.9 \rightarrow \text{okay}$$

$$S = 160 < 300 \rightarrow \text{okay}$$

4.9 Design of footing (F1)

Factored load $P_u = 500 \text{ KN}$ (Load from column (B0-C1))

Soil weight = 18 KN/m^2

Column dimensions = $30 \times 30 \text{ cm}$

Allowable soil pressure = 400 KN/m^2

(4.11.2) Design of Footing Area:-

Allowable net soil pressure = $400 - 18 \times 0.6 - 0.3 \times 25 = 367.5$

$$\begin{aligned} \text{Area (A)} &= \text{Total Weight} / \text{Soil Pressure} \\ &= 500 \text{ KN} / 367 \text{ KN/m}^2 \\ &= 1.15 \text{ m}^2 \end{aligned}$$

Try 1.10×1.10 Area = 1.21 m^2

Select Foot Geometry 1.10×1.10

For the design of the reinforced concrete member factored load must be used:

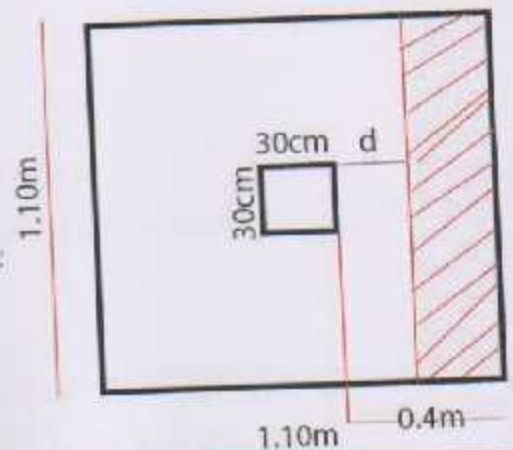


Figure 4.19 footing F1

$$P_u = 500 \text{KN}$$

$$q_u = \frac{500}{1.21} = 413.22 \text{KN}$$

- One-way shear (beam shear)

V_u at distance d from the face of the support:

$$V_u = q_u b \left(\frac{l}{2} - \frac{a}{2} - d \right) = 413.22 \left(\frac{1.1}{2} - \frac{0.3}{2} - d \right)$$

$$\text{let } V_u = \phi V_c = 0.75 \times \frac{1}{6} \times 1 \times \sqrt{24} \times 1100 \times d$$

$$\frac{413.22 \times 1.1 \left(\frac{1.1}{2} - \frac{0.3}{2} - d \right)}{0.75} = \frac{1}{6} \times 1 \times \sqrt{24} \times 1100 \times d$$

$$\rightarrow d = 0.1613 \text{m}$$

Assume cover = 75mm, steel bars $\phi 20$

$$h = 0.162 + 0.075 + 0.020 = 0.257 \text{m}$$

Use $h = 300 \text{mm} > 257 \rightarrow \text{okay}$

$$\text{Then } d = 300 - 75 - 20 = 205 \text{mm}$$

- Two-way punching shear:

$$\text{Let } V_u = \phi V_c \quad (\phi = 0.75)$$

$$V_u = 413.22(1.1 \times 1.1 - (0.3 + d)(0.3 + d)) = 394.61 \text{KN}$$

$$\beta = \frac{300}{300} = 1, \quad b_0 = 2(0.3 + 0.205) + 2(0.3 + 0.205) = 2.02 \text{m}$$

$$\frac{1}{6} \left(1 + \frac{2}{\beta} \right) = 0.5$$

$$\frac{1}{3} - \text{control}$$

$$\frac{1}{12} \left(\frac{\alpha_s d}{b_0} + 2 \right) = \frac{1}{12} \left(\frac{40 \times 205}{2020} + 2 \right) = 0.503$$

$$\rightarrow V_c = \frac{1}{3} \times \sqrt{24} \times 2020 \times 205 \times 10^{-3} = 676.22 \text{KN}$$

$$\phi V_c = 0.75 \times 676.22 = 507.17 \text{KN} > V_u = 394.61 \text{KN} \rightarrow \text{okay}$$

The thickness is adequate.

- Design for flexure in any direction:

Take steel bars of $\phi 20$

$$b = 1.1 \text{m} \quad h = 300 \text{mm} \quad d = 205 \text{mm} \quad f_c = 24 \text{MPa} \quad f_y = 420 \text{MPa}$$

$$M_u = 413.22 \times 1.1 \times 0.4 \times \frac{0.4}{2} = 36.36 \text{KN.m}$$

$$R_n = \frac{36.36 \times 10^6}{0.9 \times 1100 \times 205^2} = 0.874 \text{MPa}$$

$$\rho = \frac{1}{20.6} \left(1 - \sqrt{1 - \frac{2 \times 0.874 \times 20.6}{420}} \right) = 0.00213$$

$$A_s = 0.00213 \times 1100 \times 205 = 480.315 \text{ mm}^2$$

$$A_{s, \text{min}} = 0.00118 \times 1100 \times 300 = 594 \text{ mm}^2 - \text{control}$$

→ take 6φ12 with $A_s = 678.6 \text{ mm}^2 > 594 \text{ mm}^2$ → okay

$$s = \frac{1100 - 75 \times 2 - 6 \times 12}{5} = 175.6 \text{ mm}$$

Step (s) is the smallest:

1) $3h = 3 \times 300 = 900 \text{ mm}$

2) 450 mm – control

$S = 175.6 \text{ mm} < 450 \text{ mm}$ – okay

The design of the other direction of the other direction of the footing is the same, because we have square footing with square column.

4.10 Design of basement wall:

Weight of the backfill = 18 kN/m^2 ,

Angle of internal friction = 35° ,

$f_c = 24 \text{ MPa}$, $f_y = 420 \text{ MPa}$

The wall spans vertically and will be considered as fixed at the bottom end and propped at the top. A span of $L = 4 \text{ m}$, as shown in the figure. For these data, the different lateral pressures on 1m length of the wall are as follows:

$$C_a = \left(\frac{1 - \sin \varphi}{1 + \sin \varphi} \right) = \left(\frac{1 - \sin 35}{1 + \sin 35} \right) = 0.271$$

$$h_s (\text{due surcharge}) = \frac{5}{18} = 0.278 \text{ m}$$

• Due active soil pressure

$$P_a = C_a \omega h = 0.271 \times 18 \times 4 = 19.512 \text{ kN/m}^2$$

$$H_a = P_a h / 2 = 19.512 \times 4 / 2 = 39.03 \text{ kN}$$

• Due surcharge:

$$P_s = C_a \omega h_s = 0.271 \times 18 \times 0.278 = 1.36 \text{ kN/m}^2$$

$$H_s = P_s h = 1.36 \times 4 = 5.44 \text{ kN}$$

H_a is due to triangular loading, whereas H_s is due to uniform loads.

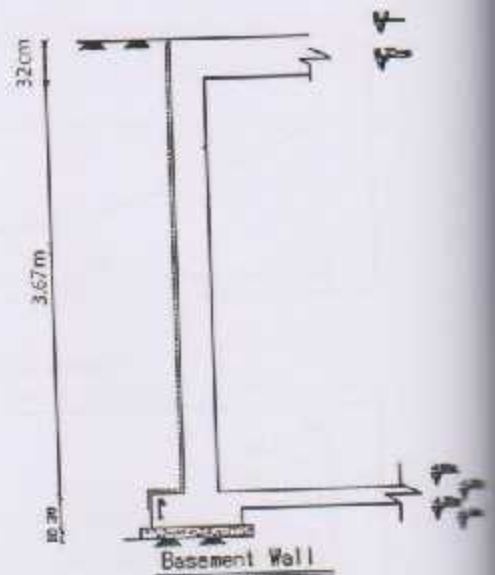


Figure 4.20 basement wall dimension.

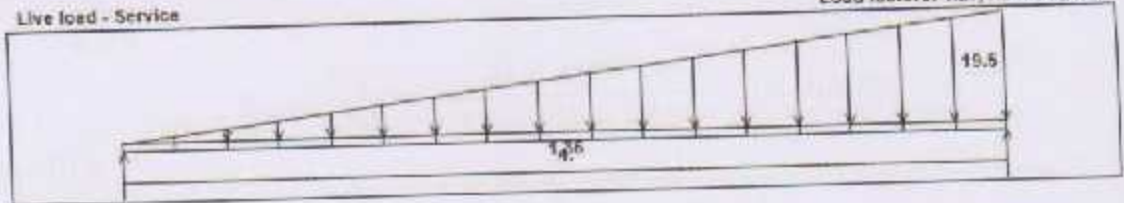
load group no. 1
Dead load - Service

Units: kN, meter



Live load - Service

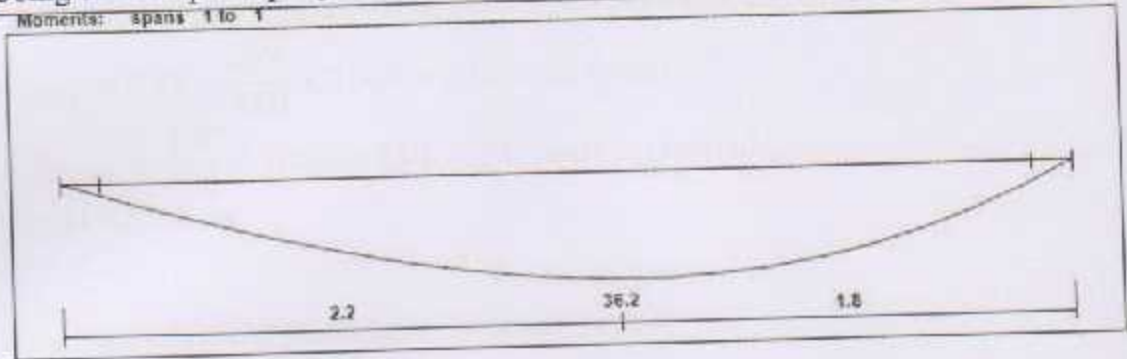
Load factors: 1.20, 1.20/1.60, 0.00



Moment/Shear Envelope (Factored) Units: kN, meter

Using the computer programs:

Moments: spans 1 to 1



Moment/Shear Envelope (Factored) Units: kN, meter

Shear



Maximum positive bending moment within the span occurs at the section of zero shear.

Assume wall thickness $h=300\text{mm}$

$$d = 300 - 75 - \frac{14}{2} = 218\text{mm}$$

Assuming $\phi 14$ diameter of the bar

$\phi = 0.9$ for flexure

$M_c = 36.2\text{m}$

$$R_n = \frac{M_u}{\phi b d} = \frac{36.2 \times 10^6}{0.9 \times 1000 \times 218^2} = 0.846\text{MPa}$$

$m=20.6$

$$\rho = \frac{1}{20.6} \left(1 - \sqrt{1 - \frac{2 \times 0.846 \times 20.6}{420}} \right) = 0.00205$$

$$A_s = 0.00205 \times 1000 \times 218 = 448.6\text{mm}^2$$

$$A_{s,min} = 0.0015 \times 1000 \times 300 = 450\text{mm}^2$$

$$A_{s,min} = 0.25 \times \frac{\sqrt{24}}{420} \times 1000 \times 218 = 636\text{mm}^2$$

$$\leq A_{s,min} = \frac{1.4}{420} \times 1000 \times 218 = 727\text{mm}^2 - \text{control}$$

Use $\phi 14 @ 200\text{mm}$

Longitudinal reinforcement use minimum ratio

$$A_s = 0.002 \times 1000 \times 200 = 400\text{mm}^2$$

Use $\phi 12 @ 250\text{mm}$ in each side of the wall.

4.11 Design of stair (S1):

$f_c=24\text{MPa}$, $f_y=420\text{MPa}$, live load= 3KN/m^2
 Assume a rise of 175mm, and a run of 300mm

1. Structural system: If no stringer beam is used, one of the four possible solutions shown in figure may be adopted. When no immediate supports are used, the flight of stairs will be supported at the ends of the upper and lower landing this structural system will be adopted in this example.

2. Minimum slab thickness for deflection is for simply supported one-way solid slab

$$h_{min} = l/20 = 5.7/20 = 0.285\text{m} = 28.5\text{cm}$$

In the case presented here, where the slab ends are cast with the supporting beams and additional negative reinforcement provided, the minimum thickness is assumed to be

$$h_{min} = l/28 = 5.7/28 = 0.204\text{m} = 20.5\text{cm}$$

Take $h_{min}=250\text{mm}$

3. Loads: the applied live loads are based on the plan area (horizontal projection), while the dead load is based on the sloped length to transform the dead load into the horizontal projection, the figure below explains how:

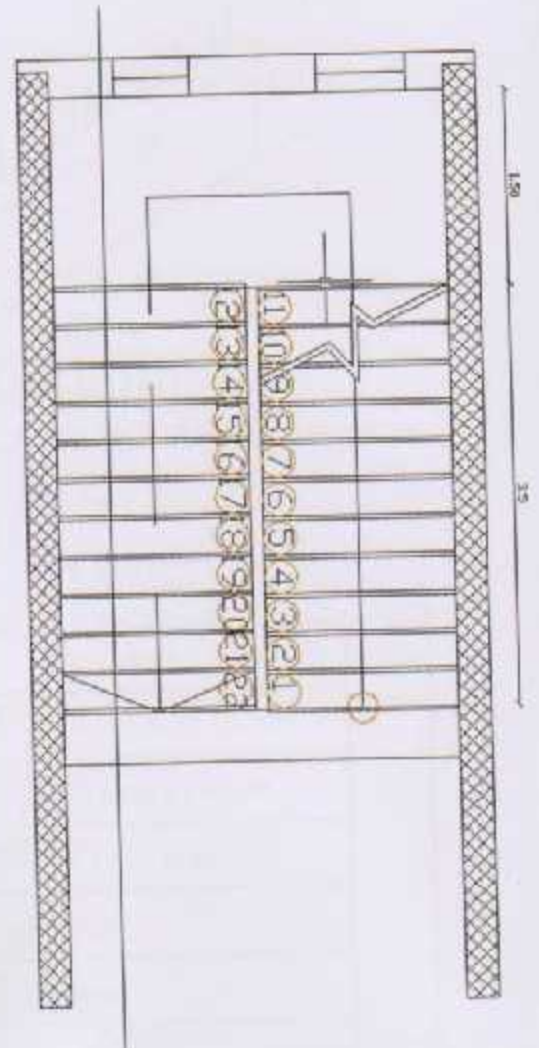


Figure 4.22 Stair Plan

◆ Flight Dead Load computation:

$$\theta = \tan^{-1} \left(\frac{\text{rise}}{\text{run}} \right) = \tan^{-1} \left(\frac{175}{300} \right) = 30.26^\circ$$

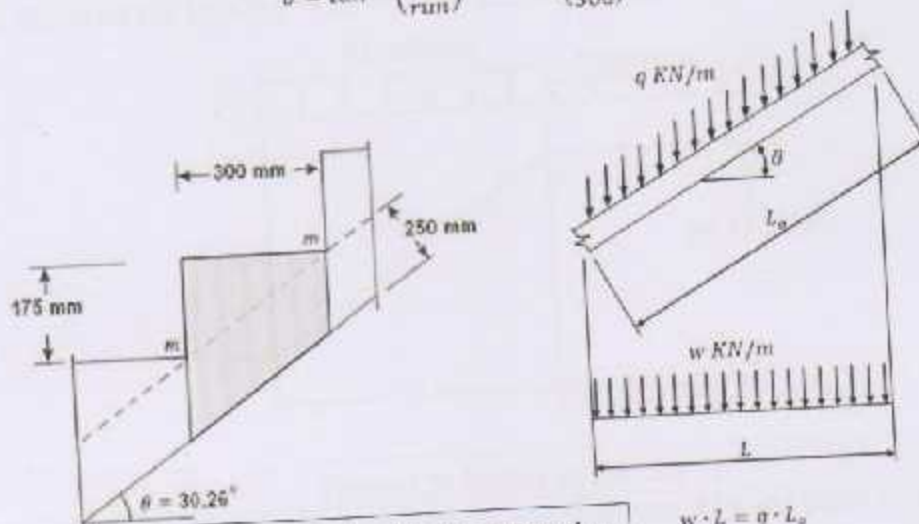


Figure 4.23 flight dead load computation

$$w \cdot L = q \cdot L_0$$

$$w = q \cdot \frac{L_0}{L} = \frac{q}{\cos \theta}$$

Material	Quality Density KN/m ³	W KN/m
Tiles	27	$27 \times \left(\frac{0.175 + 0.35}{0.3} \right) \times 0.03 \times 1 = 1.410$
mortar	22	$22 \times \left(\frac{0.175 + 0.3}{0.3} \right) \times 0.02 \times 1 = 0.697$
Stair steps	25	$\frac{25}{0.3} \times \left(\frac{0.175 \times 0.3}{2} \right) \times 1 = 2.189$
Reinforced Concrete solid slab	25	$\frac{25 \times 0.25 \times 1}{\cos 30.26^\circ} = 7.236$
Plaster	22	$\frac{22 \times 0.03 \times 1}{\cos 30.26^\circ} = 0.764$
Total Dead Load, KN/m		12.303

Table 4.8 flight dead load calculations for stair sl

Material	Quality Density KN/m ³	$\gamma \cdot h \cdot 1$ KN/m
Tiles	22	$22 \times 0.03 \times 1 = 0.66$
mortar	22	$22 \times 0.02 \times 1 = 0.44$
Reinforced Concrete solid slab	25	$25 \times 0.25 \times 1 = 6.25$
Plaster	22	$22 \times 0.03 \times 1 = 0.66$
Total Dead Load		8.01

Table 4.9 landing dead load calculations for stair sl

Live load = 3KN/m^2
 Total factored for flight = $1.2D + 1.6L = 1.2 \times 12.303 + 1.6 \times 3 = 19.56\text{KN/m}$
 Total factored for landing = $1.2D + 1.6L = 1.2 \times 8.01 + 1.6 \times 3 = 14.42\text{KN/m}$

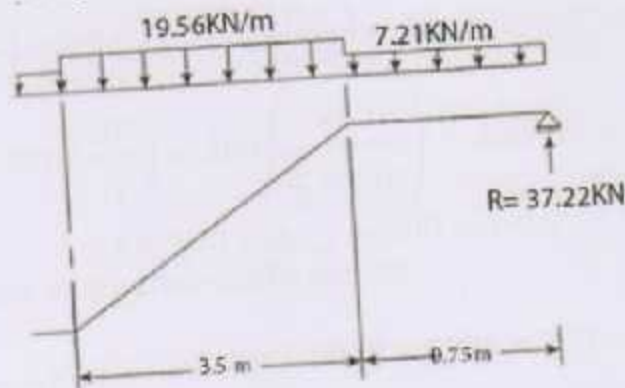


Figure 4.24 loading on the stair S1

4. Check for shear strength: assume bar diameter $\phi 14$ for main reinforcement

$$d = 250 - 20 - \frac{14}{2} = 223\text{mm}$$

Assume beam width of 30cm

$$V_u = 37.22 - 7.21(0.15 + 0.223) = 34.53\text{KN}$$

$$\phi V_c = 0.75 \times \frac{1}{6} \times 1 \times \sqrt{24} \times 1000 \times 223 \times 10^{-3} = 124.66\text{KN}$$

$$V_u = 34.53\text{KN} < 0.5\phi V_c = 62.33\text{KN}$$

→ the thickness is adequate enough

5. Calculate the maximum bending moment and steel reinforcement:

$$M_u = 37.22 \times \frac{5.7}{2} - 7.21 \times 1.5 \times \left(\frac{1.5 + 3.5}{2}\right) - 19.56 \times \frac{3.5}{2} \times \frac{3.5}{4}$$

$$= 72.54\text{KN.m}$$

Assume bar diameter $\phi 14$ for main reinforcement → $d = 223\text{mm}$

$$R_n = \frac{M_u}{\phi b d} = \frac{72.54 \times 10^6}{0.9 \times 1000 \times 193^2} = 1.65\text{MPa}$$

$m = 20.6$

$$\rho = \frac{1}{20.6} \left(1 - \sqrt{1 - \frac{2 \times 1.65 \times 20.6}{420}} \right) = 0.0036$$

$$A_s = 0.0036 \times 1000 \times 223 = 802.8\text{mm}^2$$

$$A_{s,min} = 0.0018 \times 1000 \times 250 = 450\text{mm}^2$$

$A_s > A_{s,min}$ - okay

Use $6\phi 14/m \rightarrow \phi 14/180\text{mm}$

Step (s) is the smallest:

1) $3h = 3 \times 250 = 750 \text{ mm}$

2) $450 \text{ mm} - \text{control}$

3) $s = 380 \left(\frac{280}{f_s} \right) - 2.5 C_c = 380 \left(\frac{280}{\frac{2}{3} \times 420} \right) - 2.5 \times 20 = 330 \text{ mm}$

$$\leq 300 \left(\frac{280}{f_s} \right) = 300 \left(\frac{280}{\frac{2}{3} \times 420} \right) = 300 \text{ mm} - \text{control}$$

$$s = 180 < s_{max} = 300 \Rightarrow \text{okay}$$

6. Shrinkage and temperature reinforcement:

$$A_s(\text{shrinkage \& temperature}) = 0.0018 \times 1000 \times 250 = 450 \text{ mm}^2$$

Use $3\phi 14/\text{m} \rightarrow \phi 14/300 \text{ mm}$

Step (s) is the smallest:

1) $5h = 5 \times 250 = 1250 \text{ mm}$

2) $450 \text{ mm} - \text{control}$

$$s = 300 \text{ mm} < s_{max} = 450 \text{ mm} - \text{okay}$$

If the slab will be cast monolithically with its supporting beams, additional reinforcement must be provided at the top of the upper and lower landings.

7. Design of landing: Considering a 1-m length of the landing, the load on the landing shown in the next figure. The middle will carry a full load, whereas the two 1.5-m lengths on each side will carry half the ultimate load.

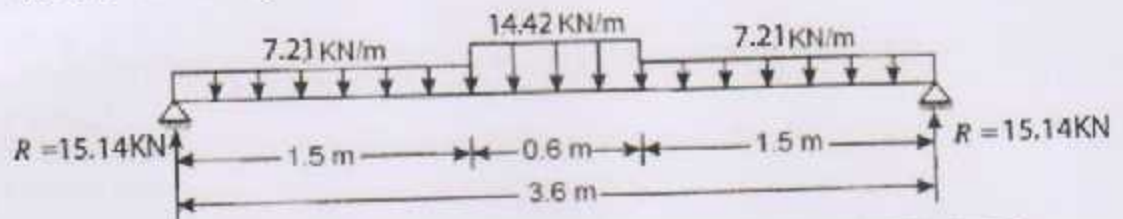


Figure 4.25 loads on landing on the stair S1

$$M_u = 15.14 \left(\frac{3.6}{2} \right) - 7.21 \times 1.5 \times \left(\frac{1.5 + 0.6}{2} \right) - 14.42 \times \frac{0.6}{2} \times \frac{0.6}{4}$$

$$= 15.25 \text{ kN.m/m}$$

Assume bar diameter $\phi 14$ for main reinforcement

$$d = 250 - 20 - 14 - \frac{14}{2} = 209 \text{ mm}$$

$$R_n = \frac{M_u}{\phi b d} = \frac{15.25 \times 10^6}{0.9 \times 1000 \times 209^2} = 0.39 \text{ MPa}$$

$m=20.6$

$$\rho = \frac{1}{20.6} \left(1 - \sqrt{1 - \frac{2 \times 0.39 \times 20.6}{420}} \right) = 0.00094$$

$$A_s = 0.00094 \times 1000 \times 209 = 196.46 \text{ mm}^2$$

$$A_{s,min} = 0.0018 \times 1000 \times 250 = 450 \text{ mm}^2$$

$A_s > A_{s,min}$ - okay

Use $3\phi 14/m \rightarrow \phi 14/300\text{mm}$

Step (s) is the smallest:

1) $3h = 3 \times 250 = 750 \text{ mm}$

2) 450 mm - control

$s_{max} = 300$ - control

$s = s_{max}$ - okay

4.12 Design of Short Column:

Column (C7) in the Ground Floor of the Medical College.

4.13.1 Load Calculation:

$P_u = 5000 \text{ KN}$.

$\phi P_n = P_u$

($\phi = 0.65$ for tied column).

Let $\rho = 0.02$

$A_s = 0.02 A_g$

$$\phi P_{n,max} = \phi 0.8 [0.85 f'_c (A_g - A_s) + A_s f_y] = 0.65 \times 0.85 [0.85 \times 24 (A_g - 0.02 A_g) + 0.02 \times 420 A_g]$$

$$9090.9 \times 10^3 = 28.4 A_g$$

$$A_{g,req} = 320102 \text{ mm}^2$$

$$A_g = a^2, a = 565.77 \text{ mm}$$

Take $a = 600 \text{ mm}$

$$A_g = 360000 \text{ mm}^2 > A_{g,req} \quad \text{ok}$$

4.13.2 Check Slenderness Effect:

In both direction:

$$\frac{K L_u}{r} \leq 34 - 12 \times \frac{M1}{M2}$$

ACI (10.12.2)

L_u : Actual Unsupported Length.

r : Radius Of Gyration = $0.3 \times h = \sqrt{\frac{I}{A}}$

$K = 1.0$, According to ACI 318-08 (10.12.2) the effective length factor (K) shall be permitted to be taken as 1.0

$$l_u = 4 - 0.31 = 3.68 \text{ m.}$$

$$\frac{M_1}{M_2} = 1.0$$

$$r = 0.3 \times 0.6 = 0.18$$

$$\frac{1.0 \times 3.68}{0.18} \leq 34 - 12 \times 1.0$$

20.4 < 22, short column in both directions.

4.13.3 Select the longitudinal bars:

$$\phi P_{n,max} = 0.65 \times 0.85 [0.85 \times 24(250000 - A_s) + \times 420 A_s]$$

$$A_{s,req} = 5452.7 \text{ mm}^2, \text{ try } \phi 22 \text{ with } A_s = 380.1 \text{ mm}^2$$

$$\text{Use } 16 \phi 22 \text{ with } A_s = 6081.6 \text{ mm}^2 > A_{s,req} \quad \text{ok}$$

$$\rho = \frac{A_s}{A_g} = \frac{6081.6}{250000} = 0.0243$$

4.13.4 Design for ties:

Use ties $\phi 10$ with spacing shall not exceed the smallest of:

- $48 \times d_s = 48 \times 10 = 480 \text{ mm.}$
- $16 \times d_s = 16 \times 22 = 352 \text{ mm.}$
- The least dim. Of the column = 600 mm.

Cont.

Use $\phi 10 @ 300 \text{ mm.}$

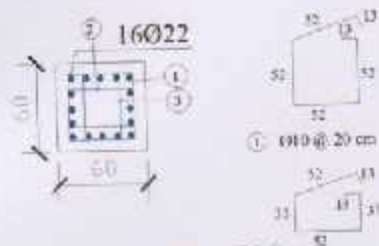


Figure 4.26 section column

4.13.5 Check for code requirements:

- clear spacing between longitudinal bars = $\frac{600 - 40 \times 2 - 10 \times 2 - 22 \times 6}{5} = 73.6 \text{ mm}$

$$73.6 \text{ mm} > 40 \text{ mm}$$

$$> 1.5 d_s = 33 \text{ mm.}$$

Ok

- Gross reinforcement ratio = 0.0243,

$$0.01 < 0.0243 < 0.08 \quad \text{ok}$$

- NO of bars = 16 > 4 bars for square columns.

- Min ties diameter: $\phi 10$ for $\phi 32$ longitudinal bars and smaller.

الفصل الخامس

النتائج و التوصيات

5

1-5 النتائج

2-5 التوصيات

1-5 النتائج

من خلال هذا التجوال في هذا البحث، و التعرف على معطياته و جوانبه، تم الخروج بزيادة هذا البحث من خلال نتائج تمثل فيما يلي :-

- 1- تم في هذا القسم من العمل على المشروع وضع حلول أولية ستخضع لمزيد من الدراسة، وهي قابلة للتغيير.
- 2- إن فهم المخططات المعمارية له دور كبير في إيجاد الحلول الإنشائية الملائمة لنوع الاستخدام في المبنى.
- 3- إن القدرة على الحل اليدوي ضرورية للمصمم الإنشائي لتأكيد على حل البرامج المحسوبة وفهم طريقة عملها.
- 4- التعرف على العناصر الإنشائية، وكيفية التعامل معها، ومع آلية عملها، وذلك ليتم تصميمها تصميمًا جيدًا يحقق الأمان و القوة الإنشائية.

2-5 التوصيات

1. يجب أن يكون هناك تنسيق بين المصمم المعماري والإنشائي خلال عملية التصميم حتى ينتج مبنى متكاملًا إنشائياً ومعمارياً.
2. يوصى بتنفيذ المشروع حسب المخططات المرفقة بالمشروع بأقل تغييرات ممكنة.
3. ينصح بوجود مهندس مشرف للإشراف على التنفيذ وأن يلتزم بالمخططات والشروط لضمان التنفيذ الأفضل للمشروع.
4. إذا تبين أن قوة تحمل القربة أقل من القوة التي تم تصميم المشروع بناءً عليها؛ فإنه يجب إعادة تصميم الأساسات وفقاً للقيمة الجديدة.
5. بعد المراجعة الشاملة للمخططات التنفيذية فإن هذا المشروع يعتبر جاهزاً للتنفيذ إنشائياً ومعمارياً.
6. يجب استكمال التصميم الكهربائي و الميكانيكي للمشروع قبل المباشرة في التنفيذ لإدخال أي تعديلات محتملة عليه من الناحية الإنشائية.

قائمة المصادر والمراجع

1. كودات البناء الوطني الأردني، كود الأحمال والقوى، مجلس البناء الوطني الأردني، عمان، الأردن، 1990م.
2. تلخيص وملاحظات الأستاذ المشرف.
3. واكد، خليل إبراهيم، الدليل الإنشائي لتصميم البلاطات الخرسانية، دار الكتب العالمية للنشر والتوزيع، جمهورية مصر العربية، 2001 م.
4. موقع المملكة المعمارية، تصميم المراكز التجارية، <http://www.m3mare.com>

5. BUILDING CODE REQUIREMENTS FOR STRUCTURAL CONCRETE (ACI-318M-02) AND COMMENTARY CODE (ACI-318-02).

6. Uniform Building Code (UBC-97)

**TABLE 9.5(a)—MINIMUM THICKNESS OF
NONPRESTRESSED BEAMS OR ONE-WAY SLABS
UNLESS DEFLECTIONS ARE CALCULATED**

Member	Minimum thickness, h			
	Simply supported	One end continuous	Both ends continuous	Cantilever
	Members not supporting or attached to partitions or other construction likely to be damaged by large deflections.			
Solid one-way slabs	$\ell/20$	$\ell/24$	$\ell/28$	$\ell/10$
Beams or ribbed one-way slabs	$\ell/16$	$\ell/18.5$	$\ell/21$	$\ell/8$

Notes:

Values given shall be used directly for members with normalweight concrete (density $w_c = 2320 \text{ kg/m}^3$) and Grade 420 reinforcement. For other conditions, the values shall be modified as follows:

- a) For structural lightweight concrete having unit density, w_c , in the range $1440\text{--}1920 \text{ kg/m}^3$, the values shall be multiplied by $(1.65 - 0.003w_c)$ but not less than 1.09.
- b) For f_y other than 420 MPa, the values shall be multiplied by $(0.4 + f_y/700)$.

MINIMUM THICKNESS OF NONPRESTRESSED BEAMS OR
ONE-WAY SLABS UNLESS DEFLECTIONS ARE CALCULATED)

TABLE 9.5(b) — MAXIMUM PERMISSIBLE COMPUTED DEFLECTIONS

Type of member	Deflection to be considered	Deflection limitation
Flat roofs not supporting or attached to non-structural elements likely to be damaged by large deflections	Immediate deflection due to live load L	$L/180^*$
Floors not supporting or attached to non-structural elements likely to be damaged by large deflections	Immediate deflection due to live load L	$L/360$
Roof or floor construction supporting or attached to nonstructural elements likely to be damaged by large deflections	That part of the total deflection occurring after attachment of nonstructural elements (sum of the long-term deflection due to all sustained loads and the immediate deflection due to any additional live load) [†]	$L/480^*$
Roof or floor construction supporting or attached to nonstructural elements not likely to be damaged by large deflections		$L/240^‡$

* Limit not intended to safeguard against ponding. Ponding should be checked by suitable calculations of deflection, including added deflections due to ponded water, and considering long-term effects of all sustained loads, camber, construction tolerances, and reliability of provisions for drainage.

† Long-term deflection shall be determined in accordance with 9.5.2.5 or 9.5.4.3, but may be reduced by amount of deflection calculated to occur before attachment of nonstructural elements. This amount shall be determined on basis of accepted engineering data relating to time-deflection characteristics of members similar to those being considered.

‡ Limit may be exceeded if adequate measures are taken to prevent damage to supported or attached elements.

§ Limit shall not be greater than tolerance provided for nonstructural elements. Limit may be exceeded if camber is provided so that total deflection minus camber does not exceed limit.

MAXIMUM PERMISSIBLE COMPUTED DEFLECTIONS)

الاحمال الحية للارضيات والعقدات

الحمل المركب البديل	الحمل الموزع	الاستعمال	نوع المبنى	
			خاص	عام
27	3.0	غرف التدريس.	تابع السجن والمستشفيات والمدارس والكليات.	تابع المباني العلمية وماشابهها.
4.5	2.5	غرف المطالعة دون مستودع كتب.		
4.5	4.0	غرف المطالعة بمستودع كتب.		
1.8	2.0	قاعات المعدات.		
4.5	2.0	غرف الأشعة والعمليات والخدمات.		
1.8	2.0	غرف تبديل الملابس وغيرها في المستشفيات.		
-	4.5 لكل متر طولي موزعا بانتظام على العرض.	المقتضيات.		

الحمل المركب البديل	الحمل الموزع كغ/م ²	الاستعمال الاشغال	نوع المبنى	
			عام	خاص
7.0	4.8 لكل متر من ارتفاع التخزين على أن لا يقل عن (10).	أماكن التكدس الكثيف للكتب على عربات متحركة.	تايع السجون والمستشفيات والمدارس والكتليات.	تايع المبانى التعليمية وماشابهها.
7.0	2.4 لكل متر من ارتفاع التخزين على أن لا يقل عن (6.5).	غرف لتكدس الكتب.		
9.0	4 لكل متر من ارتفاع التخزين.	مستودعات القوطاسية.		
4.5	5.0	الممرات والمداخل المعرجة لحركة المركبات والعربات المتحركة.		
9.0	5.0	غرف وقاعات التدريس.		
3.6	5.0	قاعات التجمع والمسارح والجنات يوم دون مقاعد ثابتة.		
4.5	3.0	المختبرات بما فيها مساحيد، والمطابخ وغرف الغسيل.		
2.7	3.0	المسرات والمداخل والأدراج و مسطحات الأدراج الثانوية.		

<p>كما ورد في النوع الثالث من المباني السكنية.</p>	<p>مخرف المراحل والمحركسات والنسروج ومخرف المشروبات والخدمات والشرفات والممرات ومخرف الطعام ورفعات الاستراحة واللياردو.</p>	<p>السجون والمستشفيات والمدارس والكلية.</p>	<p>المباني التعليمية وحاشائها</p>
<p>كما ورد في النوع الثاني من المباني السكنية.</p>	<p>الممرات والمدخل والأدراج وبسطات الأدراج والممرات المرتفعة الموصلة بين المباني.</p>		